



YILDIZ TEKNİK ÜNİVERSİTESİ
FEN BİLİMLERİ ENSTİTÜSÜ

Keles seyitömer tunçbilek

Yüksek Lisans Tezi

Melike Cemaloğlu

YILDIZ ÜNİVERSİTESİ
FEN BİLİMLERİ ENSTİTÜSÜ

WOOD

35

**KELES (BURSA), SEYİTÖMER (KÜTAHYA),
TUNÇBİLEK (TAVŞANLI) LİNYİTLERİNİN
ANORGANİK ARTIKLARININ GİDERİLMESİ.**

(YÜKSEK LİSANS TEZİ)

KİM. MÜH. Melike CEMALOĞLU

İstanbul - 1986

YILDIZ ÜNİVERSİTESİ
FEN BİLİMLERİ ENSTİTÜSÜ



KELES (BURSA), SEYİTÖMER (KÜTAHYA),
TUNÇBİLEK (TAVŞANLI) LINYİTLERİNİN
ANORGANİK ARTIKLARININ GİDERİLMESİ

KELES (BURSA), SEYİTÖMER (KÜTAHYA),
TUNÇBİLEK (TAVŞANLI) LINYİTLERİNİN
ANORGANİK ARTIKLARININ GİDERİLMESİ.

46

(YÜKSEK LİSANS TEZİ)

KİM. MÜH. Melike CEMALOĞLU



İSTANBUL - 1986

KELES (BURSA), SEYİTÖMER (KÜTAHYA),
TUNÇBİLEK (TAŞANLI) LİNYİTLERİNİN
ANORGANİK ARTIKLARININ GİDERİLMESİ

TEZ YÖNETİCİSİ: Doç. Dr. Bedri Doğan EMİR

TEZ TESLİM TARİHİ: 30.6.1986

JÜRİ ÜYELERİ:

Doç. Dr. M. Kadir Kuyulu, Yrd. Doç. Dr. Mehmet Fızzı ve Asg.
Ortaöğretim Kurumları'na teşekkür ederim. Fikir alıcıları
sında ve bu konu çalışmalarında yardım ettiğim arkadaşları
Açık Hukuk Uzmanı MİMAZ'a teşekkür ederim. Ülkem ve çalışma
yerlerinde yardımcı olan Doç. Gör. İsmail ESEN ile diğer
şirketlerin temsilcileri'ne de teşekkür ederim.

Bu tezimi savunma sırasında verdiğim, her türlü
yardım ve destek istedim. Niye bu şekilde böyle bir şey.

SAVUNMA TARİHİ:

ÖZET

TEŞEKKÜR

Tez çalışması olarak bu konuyu bana veren ve çalışmalarım sırasında bana yardımcı olan bölüm başkanımız Prf. Dr. Salih DİNÇER ve tez yöneticim Doç. Dr. Bedri Doğan EMİR'e teşekkür ederim. Araştırmalarım sırasında değerli yardımimatlarını gördüğüm, Doç. Dr. Abdulkadir KUYULU, Yrd. Doç. Dr. Sabriye PIŞKİN, Yrd. Doç. Dr. Mehmet FİLİZ ve Arş. Gör. Seyfettin ERTURAN'a teşekkür ederim. Fikir alışverişinde ve ortak çalışmalarımızdaki yardımimatlarından dolayı Arş. Gör. Vahdet YILMAZ'a teşekkür ederim. Uğraş ve çalışmalarında yardımcı olan Arş. Gör. İnci ŞENTARLI ve diğer arkadaşlara teşekkür ederim.

Bu tez çalışmalarımı yürütürken, her türlü yardım ve desteği sağlayan aileme teşekkürü borç bilirim.

Aşağıda yerini ile Valde linyitleri üzerinde yapılan ek bir çalışma anorgansik artıkların yanında, organik linyitlerin de böyle oranda değerlendirildiği görülmektedir.

ekstraksiyon işlemlerinden önce kloraj tuzundan bir pikrom taleminden geçirilmesini sevmeleri, hemi, hem de etkisi, elektrostatik ayırma yöntemine etki eder.

ÖZET

Bu çalışmada Keles (Bursa), Tunçbilek (Tavşanlı), Seyitömer (Kütahya) linyitlerinin Meyers yöntemi uygulanarak anorganik artıkların giderilmesi incelenmiştir. Ön yıkama işlemlerinin sonuçlar üzerindeki etkileri araştırılmıştır. Klor gazının kükürt gidermedeki etkisi araştırılmış, Keles linyitleriyle ön deneme yapılmıştır. Keles kömürleri üzerinde elektrostatik ayırma işlemi uygulanmıştır.

Meyers yöntemine dayanılarak yapılan ekstraksiyon çalışmalarında çözücü olarak, demir-3-klorür kullanılmış ve değişik parametreler incelenmiştir. Sıcaklık, derişim, asidite ve tane büyüğünün etkileri araştırılırken, seçilen tane büyülükleri arasında en iyi gidermenin $-0.144\text{ mm}'de$ olduğu görülmüştür. Çözücü derişimlerinin değiştirilmesinin, sonuçları fazla etkilemediği, en uygun derişimin 1.0 M olduğu ve asiditenin azalmasının özellikle pirit kükürdünün giderilmesinde olumlu sonuç verdiği, $0.5\text{ M}'lik$ asit kullanılmasının uygun olduğu ve sıcaklığın artmasıyla anorganik artık gidermenin bir miktar arttığı görülmüştür. Fakat bu yöntemle organik kükürt giderilememiştir.

Ayrıca kier gazı ile Keles linyitleri üzerinde yapılan ek bir çalışmada anorganik artıkların yanında, organik kükürdün de büyük oranda giderilebildiği görülmüştür.

Ekstraksiyon işlemlerinden önce linyit örneklerinin bir yıkama işleminden geçirilmesinin sonuçları olumlu yönde etkilediği, elektrostatik ayırma işleminin etkin olmadığı görülmüştür.

In this work, the reduction and removal of inorganic impurities such as sulfur, ash, etc., is made through dissolution and separation of the inorganic ions generated by the application of the acid. This method is based on leaching coal with a strong acidic solution and recovery of the raffinate in the separated acidic solution to remove inorganic ions. In upgrading shale as a precursor for the production of graphite, the dissolution of inorganic ions is very important.

The treatment with sulfuric acid is used to leach inorganic sulfides, the removal of pyritic sulfur, solvent extraction, separation of the sulfur in the raffinate, and so on.

It is observed that the removal of inorganic sulfides of the shale is higher and the increase of the extraction percentage increases the efficiency of the process. Treatment of shale samples shows that the maximum dissolution efficiency is attained at acidic pH values. It is also observed that the range of the extraction is wide, mainly affects the extraction of pyritic sulfur.

The increase in the temperature of extraction increases the extraction efficiency but the effect is not very appreciable, especially reduction of sulfur content seems to be less dependent on the extraction temperature.

ABSTRACT

In this work, the reduction and removal of inorganic contents (sulfur, ash, etc.) of Keles (Bursa), Tunçbilek (Kütahya) and Seyitömer (Kütahya) lignite was investigated by the application of Meyers's method. This method is based on leaching coal with inorganic salt solutions and recovery of the raffinate as the upgraded coal. In addition to Meyers's method, other methods of upgrading such as electrostatic separation, prewashing and chlorine gas utilisation were also carried out for Keles lignites.

The extraction solvent used for Meyers method is iron-3-chloride solutions. The effects of particle size, solvent concentration and acidity of the medium on the cleaning of coal were evaluated.

Experiments reveal that each of decrease in the acidity of the extraction solvent and the increase of the extraction temperature, increases the efficiency of extraction. Experiments on Keles lignites shows that the maximum extraction efficiency is attained at acidity level of 0.5 M. It is also observed that the change of the acid concentration, mainly affects the extraction of pyritic sulfur.

The increase in the temperature of extraction increases the extraction efficiency but the effect is not very appreciable, especially reduction of sulfatic sulfur and ash content seems to be less dependent on the extraction temperature.

Experiments show that the reduction of particle size enhances the efficiency of extraction and hence, provides lower ash and lower sulfur coal raffinate.

Increase in the solvent concentration is found to be effective for concentrations up to the 1.0 M higher concentrations are not appreciably increasing the efficiency of extraction. Therefore, 1.0 M Iron-3-chloride solution is recommended for industrial application.

The results of the parametric studies of coal upgrading by Meyers's method indicates that the method is only efficient for inorganic sulfur reduction. The sulfur which is of organic origin, is not removable with this method. Experiments done with chlorine gas reveals that chlorine gas is very efficient in removing pyritic and sulfatic sulfur, however it can remove organic sulfur only partially. This is due to the destructive oxydation capacity of chlorine gas.

The results of the experiments on the electrostatic separation is not promising for coal upgrading, since pyritic sulfur is very finely distributed in the original coal. However, pre washing with pure water, partly removes the ash and sulfur content of the coal.



İÇİNDEKİLER

SAYFA

TEŞEKKÜR	I
ÖZET	II
ABSTRACT	IV
İÇİNDEKİLER	V
TABLO LİSTESİ	X
ŞEKİL LİSTESİ	XI
1. GİRİŞ	1
2. KAYNAK TARAMASI	2
2.1. ÇALIŞMADA YER ALAN LİNYİT SAHA VE REZERVLERİ	2
2.1.1. Garp Linyitleri İşletme (GLİ) Sahaları	5
2.1.2. Bursa Linyitleri (BLİ) İşletme Sahaları	5
2.2. KÖMÜRDEN KÜKÜRDÜN UZAKLAŞTIRILMASI	7
2.2.1. FİZİKSEL YÖNTEMLER	7
2.2.1.1. Flotasyon Yöntemi ..	8
2.2.1.2. Elektrostatik Ayırma Yöntemi	9
2.2.1.3. Manyetik Ayırma Yöntemi	9
2.2.1.4. Diğer Yöntemler	9
2.2.2. BİYOKİMYASAL YÖNTEMLER	10
2.2.3. KİMYASAL YÖNTEMLER	11
2.2.3.1. Kimyasal Ufaltma ...	11
2.2.3.2. Çeşitli Gaz Ortamlarında Koklaşturma	11

2.2.3.3. Yaş Kimyasal YÖNTEMLER.....	29
Yöntemler.....	12
2.2.3.3.1. Kostik Çözeltisiyle Ekstraksiyon.....	12
2.2.3.3.2. Meyers Yöntemi.....	14
2.2.3.4. Klor Gazi İle Ekstraksiyon.....	15
2.2.4. ELEKTRO KİMYASAL YÖNTEMLER..	15
2.3. LİNYİTTEKİ KÜKÜRDÜN YAPISI VE DAĞILIMI.....	16
2.3.1. ANORGANİK KÜKÜRT.....	16
2.3.1.1. Disülfürler.....	16
2.3.1.2. Sülfürler ve Sülfatlar.....	16
2.3.2.3. Elementel Kükürt...	17
2.3.2.4. Organik Kükürt.....	17
2.4. KÜKÜRT GİDERME REAKSİYON KİMYASI...	18
2.4.1. Piritin Kimyasal Reaksiyonları.....	18
2.4.2. Organik Kükürt Bileşiklerinin Reaksiyonları.....	19
3. DENEYSEL ÇALIŞMALAR.....	21
3.1. ÇALIŞMADA KULLANILAN MATERİYALLER...	22
3.1.1. Kömür Örneklerinin Hazırlanması.....	22
3.1.2. Katı-Sıvı Ekstraksiyon Çözücüleri.....	22
3.1.3. Ekstraksiyon İşlemlerinin Yapıldığı Düzenekler.....	24
3.1.4. Ekstraksiyon İşlemlerinin Yapılışı.....	24
3.1.5. Ekstrakte Edilmiş Kömür Ör- neklerinin Çeşitli Bileşenle- rinin Hesaplanmasında Uygula- nan Yöntemler.....	26
3.2. DENEL KİSIM.....	29

3.2.1. DERİŞİMLERİN DEĞİŞTİRİLMESİ	29
3.2.1.1. Keles Linyit Örnekleri.....	29
3.2.1.2. Tunçbilek Linyit Örnekleri.....	38
3.2.2. ASİDİTENİN DEĞİŞTİRİLMESİ..	38
3.2.3. TANE BüYÜKLÜĞÜN DEĞİŞTİRİLMESİ.....	39
3.2.4. SICAKLIĞIN DEĞİŞTİRİLMESİ..	39
3.3. KLOR GAZI İLE EKSTRAKSİYON.....	39
3.4. YIKAMADAN SONRA EKSTRAKSİYON İŞLEMLERİ.....	40
3.5. ELEKTROSTATİK AYIRMA İŞLEMİ.....	42
4. DENEYSEL SONUÇLARIN İNCELENMESİ VE DEĞERLENDİRİLMESİ.....	45
4.1. MEYERS YÖNTEMİ.....	46
4.1.1. Çözücü Derişimlerinin Eks- traksiyon Verimine Etkisi..	46
4.1.2. Çözücü Asiditesinin Ekstrak- siyon Verimine Etkisi.....	47
4.1.3. Tane Büyüklüğünün Ekstrak- siyon Verimine Etkisi.....	47
4.1.4. Sıcaklığın Ekstraksiyon Verimine Etkisi.....	48
4.2. KLOR GAZI İLE YAPILAN ÇALIŞMA SONUÇLARININ İNCELENMESİ.....	48
4.3. YIKAMADAN SONRA EKSTRAKSİYON İŞ- LEMLERİNİN ETKİSİ.....	48
4.4. ELEKTROSTATİK AYIRMA İŞLEMİNİN ETKİSİ.....	48
5. SONUÇ VE ÖNERİLER.....	49
KAYNAKLAR	52
EKLER	
EK I. ANALİZ YÖNTEMLERİ.....	55
I.1. Kömürde Nem Tayinleri.....	55
I.2. Kömürde Uçucu Madde-Kok- Sabit Karbon Tayinleri.....	60

I.3. Kömürde Kül Tayini.....	63
I.4. Toplam Kükürt Tayini.....	65
I.5. Kömürde Kükürt Türleri Tayini	69
I.5.1. Sülfat Kükürdü Tayini.	69
I.5.2. Pirit Kükürdü Tayini..	71
EK.II. SABİT KARBON ÜZERİNDEN YAPILAN HESAPLAMALAR.....	72

TABLO 1. TÜRKİYE FOSFOR DESTEKİLERİNİN YILLARA
GORE DAĞILIMI.....

TABLO 2. GÖR LİNYİPLERİNDE İSTEKSİZE NELİKLƏR.....

TABLO 3. KARŞA LİNYİPLER İSTEKSİZE NELİKLƏR.....

TABLO 3.2.5. KELES LİNYİP DRÖCKLERİNİN EKSTRAKSIYONUHA İLE EDİLEN EKSTRAKTSKİ
DAKİ İSTEKSİZE SONUÇLARI.....

TABLO 3.2.1.1. FAYKA DERİGİMLİNDeki DEMİR-
KİLİDRÜ ÇÖZÜMÜ İLE İSTEKSİZE
EDİLEN KESİF LİNYİP DRÖCKLERİNİN
DAKİ İSTEKSİZE SONUÇLARI.....

TABLO 3.2.1.2. KARŞA DERİGİMLİ DEMİR-
KİLİDRÜ ÇÖZÜMÜ İLE İSTEKSİZE
EDİLEN KESİF LİNYİP DRÖCKLERİNİN
DAKİ İSTEKSİZE SONUÇLARI.....

TABLO 3.2.2. KELES LİNYİP DRÖCKLERİYLE YAPILAN
EKSTRAKSIYONDA ANELİ DERİGİMLİ
DAKİ İSTEKSİTİFLƏSİ SONUÇLARI
DAKİ İSTEKSİZE SONUÇLARI.....

TABLO 3.2.3. EGYİDİ TƏBƏHƏYƏRDƏN KELES LİNYİP
DRÖCKLERİNİN EKSTRAKSIYONUNA
KEŞİLTİKTƏN ANELİ SONUÇLARI.....

TABLO 3.2.4. KELES LİNYİP DRÖCKLERİNİN FARKLI
DRÖCKLERİKLƏRDE EKSTRAKSIYONUNA
KEŞİLTİKTİN ANELİ SONUÇLARI.....

TABLO 3.3. KELES-LİNYİP DRÖCKLERİNİN KİBİLKƏ
SONUÇLARI ANELİ SONUÇLARI.....

TABLO 3.4. ÜN-YIKAMALI İSTEKSİZLYƏN İŞLENMƏZ
ANELİ SONUÇLARI.....

TABLO 3. ORJİNAL KELES (BURSA), KESİF (TAV-
SANI), ZAYİTBƏYER (KÜTAHYA) LİNYİP DRÖ-
CKLERİNİN ANELİ SONUÇLARI.....

58

TABLO LİSTESİ

TABLO 1. Türkiye Kömür Üretimlerinin Yıllara göre dağılımı.....	3
TABLO 2. Garp Linyitleri İşletme Sahaları.....	4
TABLO 3. Bursa Linyitleri İşletme Sahaları.....	6
TABLO 3.2.5. Keles Linyit örneklerinin eks- traksiyonunda elde edilen eks- traktaki SO_4^{2-} iyonu tayini.....	27
TABLO 3.2.1.1. Farklı derişimlerdeki demir-3- klörür çözücüsü ile ekstrakte edilmiş Keles linyit örnekle- rinin analiz sonuçları.....	31
TABLO 3.2.1.2. Farklı derişimlerdeki demir-3- klörür çözücüsü ile ekstrakte edilmiş Tunçbilek linyit örnek- lerinin analizleri.....	32
TABLO 3.2.2. Keles linyit örnekleriyle yapılan ekstraksiyonda asit derişimleri- nin değiştirilmesi sonucunda ki- rafinatın analiz sonuçları.....	34
TABLO 3.2.3. Değişik tane boyutunda Keles Lin- yit örneklerinin ekstraksiyonunda rafinatın analiz sonuçları.....	36
TABLO 3.2.4. Keles linyit örneklerinin farklı sıcaklıklarda ekstraksiyonunda rafinatın analiz sonuçları.....	40
TABLO 3.3. Keles linyit örneklerinin klorlama sonucundaki analiz sonuçları.....	42
TABLO 3.4. Ön yıkamalı ekstraksiyon işlemleri analiz sonuçları.....	44
TABLO 5. Orjinal Keles (Bursa), Tunçbilek (Tav- şanlı), Seyitömer (Kütahya) Linyit ör- neklerinin analiz sonuçları.....	58

ŞEKİL LISTESİ

ŞEKİL 3.1. Ekstraksiyon işlemlerinin ve kükürt türlerinin yapıldığı düzenek.....	23
ŞEKİL 3.2. Farklı sıcaklıklardaki ekstraksiyon işlemlerinin yapıldığı düzenek.....	25
ŞEKİL 3.3. Klorlama işlemlerinin yapıldığı düzenek.....	28
ŞEKİL 3.2.1.1. Keles linyit örneklerinin derişimin değişimine bağlı olarak, kükürt türlerinde giderme oranları grafiksel gösterimi.....	30
ŞEKİL 3.2.1.2. Tunçbilek linyit örneklerinin derişimin değişimine bağlı olarak giderilme oranlarının grafiksel gösterimi.....	33
ŞEKİL 3.2.2. Keles linyit örneklerinin değişik asiditeler kullanarak yapılan ekstraksiyon sonucunda kükürt giderilme oranlarının grafiksel gösterimi.....	35
ŞEKİL 3.2.3. Keles linyit örneklerinin tane boyutuna bağlı olarak kükürt giderilme oranlarının grafiksel gösterimi.....	37
ŞEKİL 3.2.4. Sıcaklık değişimlerinin, Keles linyit örnekleri ile yapılan ekstraksiyonunda kükürt giderme oranları üzerindeki etkilerinin grafiksel gösterimi.....	41
ŞEKİL 5. Linyit örneklerinin nem grafikleri...	59



GİRİŞ

Gelişen teknoloji ve nüfus artışı çoğu ülkede olduğu gibi, bizim yurdumuzda da enerji sorununun aşağı çıkmasına neden olmuştur. bilinen enerji kaynaklarından güneş enerjisinin henüz yaygınlaşmamış oluşu, nükleer enerjinin kullanılması, petrol açısından dışa bağımlı oluşumuz bizi kömüre, özellikle geniş rezervlere sahip linyit kullanımına yönlendirmektedir.

Enerjinin yanında güncel sorunlarımızdan biride çevre kirliliğidir. Özellikle hava kirliliği önlem alınmasını zorunlu kılacak boyutlara gelmiştir. Hava kirliliğinde linyit kömürlerimizin içерdiği kükürt miktarı önemli yer tutar. Yakılması sonucunda oluşan kükürtlü bileşikler en zehirleyici olanlardır. Oluşan kükürtlü bileşikler, havanın nemi ve yağmur suyuyla birleştiğinde H_2SO_4 oluşturması insanlar yanında bitki ve hayvanlara da zarar verir.

Sahip olduğumuz linyitlerimizin zenginleştirilmesi üzerinde bugüne kadar çeşitli kuruluşlar tarafından gerek yurt içinde ve yurt dışında yapılan araştırmalar oldukça eskilere dayanmasına rağmen henüz istenilen seviyeye ulaşmamış ve olumlu bir sonuç getirilememiştir. Çalışmalar halen devam etmektedir.

Ori-Osmanlı Linyitleri İğitmesi (OLI) sahibi,

Afgan-İkbalstan Linyitleri İğitmesi (ALI) sahibi,

2- KAYNAK TARAMASI

2.1. ÇALIŞMADA YER ALAN LİNYİT SAHALARI VE REZERVLERİ

Linyit kömürü madenciliği 1914-18 savaş yıllarda Soma'da başlamıştır. Devam eden çalışmalar 1935 de Etibank'ın kurulması ile daha gelişmiştir. Degirmisaz ocağı, Tunçbilek bölgesi ve Soma sahaları 1939'da bir işletme altında (Garp Linyitleri İşletmesi) toplanması linyit üretiminin gelişmesinde büyük bir hamle olmuştur. 1957'de Türkiye Kömür İşletmeleri Kurumunun kurulması ile linyit işletmeciliği gelişmiş; Alpagut - Dodurga, Beypazarı linyitleri faaliyete geçmiş, Doğu Anadolu'da linyit üretiminin geliştirilmesi için gayret sarfedilmiştir. Nihayet 1979'da tüm kömür madenciliğinin devletleştirilmesi ve özel sektör ocaklarının devir alınması ile Tablo 1'de gösterildiği gibi, kurumlar tarafından linyit üretimine ve linyite dayalı enerji üretimine önem verilmiştir (1).

Linyit kömür sahalarının yer aldığı gruplar:

Garp linyitleri işletmesi (GLİ) sahaları,

Ege linyitleri işletmesi (ELİ) sahaları,

Bursa linyitleri işletmesi (BLİ) sahaları,

Orta Anadolu linyitleri işletmesi (OAL) sahaları,

Afşin-Elbistan linyitleri işletmesi (AEL) sahaları,

TABLO 1: Türkiye Kömür Üretimlerinin Yıllara Göre
Dağılımı. (milyon t)

YILLAR	TAŞKÖMÜR (DEVLET)		LİNYİT Tuvenan			Ayıklanmış	ASFALTİT	TOPLAM (Satılabilir)
	Tuvenan	Satılabilir	Devlet	Özel	Toplam			
1972	7 862	4 641	7 558	2 703	10 260	5 486	168	10 295
1973	7 841	4 642	7 631	3 034	10 665	5 732	287	10 661
1974	8 548	4 965	8 014	3 147	11 161	6 340	393	11 698
1975	8 361	4 813	8 731	3 124	11 856	6 939	456	12 208
1976	8 077	4 632	9 854	3 868	13 721	8 252	550	13 434
1977	7 672	4 405	10 815	4 053	14 868	9 087	434	13 926
1978	7 741	4 295	11 828	6 201	18 030	9 925	297	14 517
1979	7 200	4 051	13 282	2 321	15 603	10 936	203	15 190
1980	6 599	3 597	15 593	1 405	16 998	11 574	558	15 729
1981	7 285	3 922	16 948	2 003	18 951	11 609	560	16 091

Tablo 2: Garp Linyitleri İşletmesi (GLİ) Sahalrı (1)

BÖLGELER	TUNÇBİLEK	SEYİTÖMER	DOMANIÇ	KAVACIK DURSUNBEY	GENEL TOPLAM	
REZERVLER (milyon t)	Görünür: Muhtemel Mümkürn Toplam	165.9 48.4 — 215.3	221.6 — — 221.6	20.0 15.0 5.0 40.0	5.2 7.5 — 12.7	413.7 70.9 5.0 489.6
YIKANMIŞ AYIKLANMIŞ KÖMÜR ANAL.	Su Kül Kükürt Uçucu Madde Altı ısi (Kcal/kg)	15.0 10.0 1.5 — 4000	33.5 19.1 1.4 — 2750	15.0 10.0 1.5 — 4000	19.0 15.0 1.4 — 3800	
JEOLOJİ	Jeolojik yaş Damar sayısı Toplam Kömür kalınlığı, m	Miosen 2 7-9	Miosen 2 22	Miosen 2 7	Miosen 3 8	
ÜRETİM milyon t/yıl	FİİLİ satıla- bilir (1981) Optimum satı- labilir.	3.919 5.0	5.862 6,0		0.127 0.5	9.908 11.5
ASİLEŞTİRME TESİSLERİ	Lavuar t/h Eleme t/h Santral MW Koklaşma Dumansız yakit	250 3x250 3x150 Müsbet (%75 Zonguldak+%25 Tunçbilek+%0,5 Ağırıağ)	1x800 3x150 Tesis			

Alpagut-Dodurga linyitleri işletmesi (ADL) sahaları,
Konya linyitleri işletmesi (KLİ) sahaları,
Sivas-Kangal linyitleri işletmesi (SKLİ) sahaları,
Doğu linyitleri işletmesi (DLİ) sahaları,
Güney-Doğu asfaltit ve linyitleri işletmesi (GAL)
sahaları,
Gediz havzası özel sahaları,
Trakya havzası özel sahaları olarak gösterilebilirler.

Çalışmada yer alan, Tunçbilek ve Seyitömer linyitleri
Garp linyitleri işletmesi, Keles ise Bursa linyit işletmeleri
sahalarına girmektedirler.

2.1.1. Garp Linyitleri İşletmesi (GLİ) Sahaları: En eski ve en gelişmiş olan bu işletmede halen Tunçbilek, Seyitömer ve Kavacık bölgelerinden üretim yapmaktadır. İşletmenin 414 milyon tonu "görünür" durumda olmak üzere, 490 milyon ton toplam rezerve sahiptir. Kömür, Miosen devrine ait olan 9-10 m kalınlıkta ana damardan üretilmektedir.

Maden tesisleri bakımından da en gelişmiş işletmedir. Tunçbilek'de 250 t/h kapasiteli lavuari, eleme tesisleri, Tunçbilek ve Seyitömer'de 3x150 MW'lık enerji santralleri faaliyet halindedir ve 2x150 MW'lık santral Kavacık bölgesinde proje edilmiştir. Tablo 2'de toplu değerler verilmiştir. Çevre sağlığı bakımından uygun olması nedeniyle, bu bölge linyitleri Ankara'nın yakıt gereksinmesine katkıda bulunmaktadır.

2.1.2. Bursa Linyitleri (BLİ) sahaları: İşletmeye ait toplam rezerv 485 milyon ton olup değerlendirilmesi Tablo 3'de gösterilmiştir.

TABLO 3: Bursa Linyitleri İşletmesi (BLİ) ve Civar Sahaları (1).

Sahalarda toplam 1175 t/h eleme tesisleri vardır. Kurulmakta olan Orhaneli ve Keles enerji santralleri ve proje halindeki Saray enerji tesisleri ile mevcut 918.000 tonluk üretim 5.0 milyon tona yükseltilecektir. Bölge k^{alite bakımından İstanbul'un yakıt ihtiyacına ayrılmıştır.}

2.2. KÖMÜRDEN KÜKÜRDÜN UZAKLAŞTIRILMASI

Kömürden kükürt uzaklaştırma yöntemlerini dört ana grupta toplamak olasıdır.

Fiziksel yöntemler,

Biyokimyasal yöntemler,

Kimyasal yöntemler,

Elektrokimyasal yöntemler.

2.2.1. FİZİKSEL YÖNTEMLER

Fiziksel yöntemlerin uygulanması ile kömürün organik kükürt içeriği üzerinde bir değişim meydana getirmek olası değildir. Bu nedenle fiziksel yöntemler, kömürden yalnızca piritik kükürdün uzaklaştırılmasını sağlar. Bu da yöntemin toplam kükürt giderme etkinliğini en ideal koşullarda bile, o kömürün piritik kükürt yüzdesi ile sınırlamaktadır.

Yöntemin başarısı kömürün içerdiği pirit kükürdü miktarına ve piritin kömür içindeki dağılım şecline bağlıdır. Piritin, kömür içinde mikroskopik tanecikler halinde dağılım oranı artttıkça, yöntemin başarısı için kömürün daha küçük tane boyutlarına öğütülmesi gereklidir. Bu da maliyeti arttıran ve verimi azaltan bir etkendir.

Piritik kükürdün uzaklaştırılmasında uygun bir fiziksel yöntem seçimi için, özellikle kömürün mineral dağılıminin bilinmesi gereklidir. Kömürün mineral dağılım analizinde genellikle şu sınıflamalar yapılabilir;

- Serbest pirit tanecikleri (Hacimce %80'den fazla pirit olan tanecikler),

- Kömür ile mineral maddenin birbiri içinde dağıldığı, hacimce %50-80 pirit içeren tanecikler,

- Kömür ile mineral maddenin birbiri içinde dağıldığı hacimce %50'den az pirit içeren tanecikler,

- Kömür ile mineral maddenin birbiri içinde dağıldığı, hacimce %20'den fazla mineral madde içeren pirtsiz tanecikler,

- Saf kömür.

Bu analizde sınıflar arası fark arttıkça, yöntemin etkinliği artar.

Fiziksel yöntemlerle kömürdeki kükürdün, standartlara uyacak ölçüde temizlenme olasılığı azdır. Ancak bu şekilde temizlenmiş kömürler, yanma işlemlerinden sonra baca gazlarındaki kükürt bileşiklerinin tutulması şeklinde ikinci bir önlem alınarak kullanılırlarsa, hava kirliliği için yeterli ve ekonomik bir çözüm olabilir.

2.2.1.1. Flotasyon Yöntemi:

Çok ince taneli kömürlerden piritik kükürdün uzaklaştırılması konusunda birçok araştırma yapılmıştır ve halen yapılmaktadır. Bu çalışmalar genellikle piritin çöktürülfüp, kömürün yüzdürülmesi esasına dayanmaktadır. Şlamlaşmanın



bol olduğu malzemedede flotasyonun başarısı yok olmaktadır. Şlam probleminin olmadığı hallerde, %80-90 oranlarında piritik kükürdün devre dışı bırakıldığı çeşitli araştırmalarda bulunmuştur. Ancak aşırı reaktif gereksinimi, maliyetlerin yüksekliği ve kömür geri kazanım veriminin düşüğü nedenlerinden dolayı flotasyon yöntemiyle piritin uzaklaştırılması şimdiki halde ekonomik gözükmektedir (2).

2.2.1.2. Elektrostatik Ayırma Yöntemi:

Yöntem, iletkenlikleri farklı taneciklerin elektrik alanında birbirinden ayrılması esasına dayanır. Yüzey iletkenlikleri düşük olan taneler, döner silindirin yüzeyinde daha uzun süre yapışık kaldığından, tanecikler farklı yerlere düşerler. Pirit ve kömür minerallerinin iletkenlikleri arasındaki farkı artırmak için; ısıtma, ışınlama, yüzeye bir sivi tabakası adsorbsiyonu gibi ön işlemler uygulanır.

Piritik kükürtte %90 giderme sağlayan bu yöntemin avantajlı yanı, kömür kurutma sorununun olmamasıdır (2).

2.2.1.3. Manyetik Ayırma Yöntemi:

Bu ayırma yönteminin esası; farklı manyetik iletkenliğe sahip taneciklerin manyetik alanda birbirlerinden ayrılmalarına dayanır. Kömür diyamagnetik, pirit ise safliğine bağlı olarak zayıf paramagnetik veya diyamagnetik özelliğe sahiptir. Piritin ferromagnetik veya paramagnetik özellik kazanabilmesi için, şu işlemler uygulanır:

- Piritin hidrojenle pirotine ($Fe_7 S_8$) indirgenmesi;
- Piritin $Fe_2 O_3$ veya $Fe_3 O_4$ 'e yükseltgenmesi;
- Kömürün yapısını değiştirmeden manyetik özelliğini etkileyerek kimyasal reaktiflerin kullanılması.

Manyetik yöntemlerle kükürt giderme işlemi, kömürün mineral dağılım analizine göre hacimce %50'den fazla pirit ve mineral madde içermesi halinde uygulanabilir. Bu yöntemle anorganik kükürdün %70-90'ı yanında külün de önemli bir miktarı giderilebilir (2).

2.2.1.4. Diğer yöntemler:

Jigler, ağır ortam ayırcıları, sarsıntılı masalar gibi yöntemler kullanılarak birçok çalışmalar yapılmıştır.

2.2.2. BIYOKİMYASAL YÖNTEMLER

Yakın zamana kadar bakteriler yardımcı ile yapılan kükürt giderme işlemlerinde, organik kükürdün, özellikle heterosiklik yapının, bakterilerden etkilenmediği fakat asitli mineral suda bulunan demir ve kükürt oksitleyici bakterilerin, pirit ve sülfür bileşiklerinin oksitlenmesinde önemli rol oynadığı çeşitli araştırmacılar tarafından söylenmiştir. Fakat yapılan son çalışmalarla (11) bu konuda oldukça fazla ilerleme kaydedilmiştir.

Pirit ve markazitin hızla oksitlenmesinde katalizör rolü oynayan Ferro bacillus ferrooxidans bakteriler pH:2,5-4,2 aralığında faaliyet gösterirler. Kömürün içerdiği karbonatlar ve bazı bazik maddeler reaksiyon karışımını nötralize edebilir ancak bu özelliği kömürün yaşına bağlı olarak değişir ve linyitten bitümlü kömüre doğru azalır. Tane boyutunun küçülmesi de yöntemi olumlu yönde etkiler. Ayrıca, kömürre $Fe_2(SO_4)_3$ katılmasıyla giderilen kükürt miktarının arttığı kanıtlanmıştır.

Termofilik, sülfür oksitleyici organizma *sulfolobus acidocaldarius* kullanılarak ($\text{pH}:1-4$, $60-90^\circ\text{C}$) %50'ye varan ölçüde organik kükürt giderme sağlanabilmiştir (11).

Bu yöntemlerle kömüre, kaynağında kükürt giderme işlemi uygulanması ve çamur halindeki kömürün boru hattı ile sevki olasıdır; ancak, yöntem demir - 3 - sülfat ve sülfirik asit olan reaksiyon ürünlerinin su kirliliğine ve korrozyona neden olma sorunlarını da beraberinde getirmektedir (12-13).

2.2.3. KİMYASAL YÖNTEMLER

2.2.3.1. KİMYASAL UFALTMA

Bu yöntemde kömür; metanol, amonyak gazı, derişik amonyak çözeltileri, sıvılaştırılmış amonyak gibi uygun bir kimyasal maddeyle temas ettilirilmekte ve bu işlem sonunda, kömür çözünmeksızın dağılmaktadır. Organik ve anorganik bileşenler arasındaki bağlar seçimi olarak parçalanmakta, piriti de içeren kül yapıcı maddenin çoğu aşırı derecede ufalmaksızın serbest hale gelmektedir (4).

2.2.3.2. ÇEŞİTLİ GAZ ORTAMLARINDA KOKLAŞTIRMA

Kömürün kükürdünün giderilmesi amacı ile yapılan koklaştırma deneylerinde, inert olarak azot veya karbondioksiz gazları; indirgen olarak hidrojen, su buharı veya amonyak; oksitleyici gaz olarak da hava veya oksijen kullanılmaktadır. Kömürün içeriği kükürt türlerinin koklaştırma sırasındaki davranışları, kullanılan gazın cinsine bağlı olarak değişmektedir.

2.2.3.3. YAŞ KİMYASAL YÖNTEMLER

Uygulanan yöntemleri aşağıdaki gibi sıralanabilir:

- Çözünmüş oksijen içeren çözeltiler,
- Kostik çözeltisi,
- Meyers Yöntemi,
- Klorlama,
- Nitrik asit çözeltileri,
- Azot oksitler,
- Sivilşatırılmış kükürt dioksit,
- Hidrojen peroksit,
- Piroliz yöntemi.

Reaktifin kömürün içeriği piritik ve sülfatik veya organik kükürde seçici olarak etkimesi, reaktifin geri kazanılabilmesi, reaktifin kömürden ayırlabilmesi için tepkimeye girmeden ve girdikten sonra, ya kolay çözünebilir veya kolay uçurulabilir olması ve reaktifin geri kazanma maliyetinin ucuz olması gibi etmeler uygulanmak istenilen yöntemin seçilmesinde ve başarısında önemli rol oynar.

2.2.3.3.1. Kostik Çözeltisi ile Ekstraksiyon

Erimiş Kostik: 250°C civarında piritin erimiş kostik içinde çözünebilen sülfürlere dönüştüğü saptanmıştır.

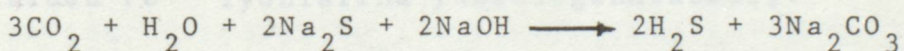
Ağırlıkça 1:1 oranında ki NaOH ve KOH karışımından 4 kısım, 1 kısım kömür ile reaksiyona sokulur, işlem sonunda kostığın üzerinde bir faz oluşturan kömür ayrılır ve yıkanır.

Bu yöntemle piritik kükürdün tümü kömürden uzaklaştırılabilmektedir. 150°C 'nın altında piritik kükürtde önemli bir azalma olmazken, 225°C 'nın üstünde organik kükürdün bir kısmında giderme sağlanabilmektedir.

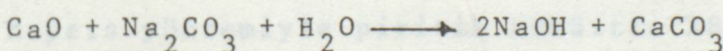
Yöntemin sakıncalı yanları; erimiş kostığın donmaması için sistemi sürekli olarak belli bir sıcaklıkta tutma zorunluluğu ve erimiş kostığın korozif etkisidir (4).

Sulu kostik: Bu yöntemle yapılan çalışmalarda %10'a kadar NaOH, %2 civarında $\text{Ca}(\text{OH})_2$ içeren ekstraksiyon çözücü-
süyle $225\text{-}325^{\circ}\text{C}$ sıcaklıklarda ve 23-165 atm. basınç altında,
kömürden büyük oranda kükürt, kül ve zehirli metallerin gide-
rilebildiği belirtilmiştir. İşlem sonunda ekstraksiyon çözel-
tisinden CO_2 geçirerek kostığı Na_2CO_3 'a çevirmek, kükürdü H_2S
halinde uzaklaştırmak ve CaO ilavesiyle kostığı geri kazanmak
olasıdır (7).

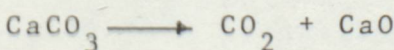
Kimyasal reaksiyonlar:



Çıkan H_2S elementer kükürde dönüştürülebilir. Kireç ise,



denklemine uygun olarak NaOH'in geri kazanılmasını sağlar. Oluşan CaCO_3 ısıtılarak CO_2 'de geri kazanılabilir.



2.2.3.3.2. MEYERS YÖNTEMİ

Bu yöntemde piritik kükürt Fe^{+3} iyonlarını içeren çözeltiler yardımı ile kömürden uzaklaştırılır (3)

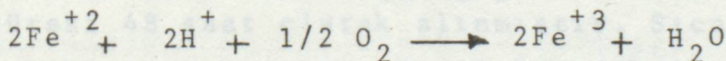
İnce öğütülmüş kömür tozu Fe^{+3} iyonlarını içeren bir çözelti ile reaksiyona sokulursa; Fe^{+3} iyonları, Fe^{+2} iyonlarına indirgenir.



Buna göre tepkime ürünleri SO_4^{-2} ve elementel kükürttür.

Ekstrakt süzülerek rafinattan ayrılır, rafinat yıkandıktan sonra vakum altında ısıtılarak kurutulur ve serbest kükürdün büyük bir kısmı bu kurutma sırasında buharlaştırılır. Kalan kükürdün tekrar yıkama, ısıtarak kurutma ve çözücü (benzen, kerosen, parakeresol) ile yapılan ekstraksiyon sonucunda giderilmesi olasıdır.

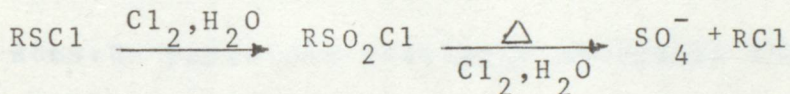
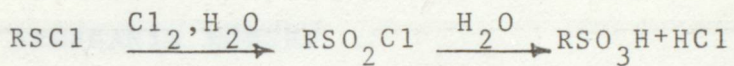
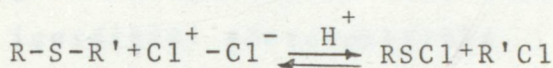
Meyers tarafından yapılan çalışmalarla tüketilen Fe^{+3} iyonlarının yeniden kazanılması için bir yöntem önerilmiştir. Bu yöntem de, kullanılmış ekstraksiyon çözeltisinden hava geçirilmekte ve çözeltideki Fe^{+2} iyonları aşağıdaki tepkimeye göre yeniden Fe^{+3} iyonlarına yükseltgenmektedir.



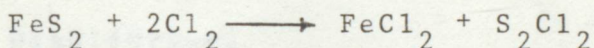
Meyers yöntemiyle piritik kükürtte %83-99 giderme sağlanabilmektedir.

2.2.3.4. KLOR GAZI İLE UYGULAMA

Klor gazı kullanarak kömürün kükürtten arındırılması sağlanabilmiştir (15). İşlem; 50-100°C sıcaklık, 1-4 saat zaman aralığında yapılmıştır. 300-500°C'da vakum veya buhar atmosferinde bir saat klor giderme işleminden sonra yapılan analizlerde %76 toplam, %70 organik, %90 piritik, kükürdüne giderilebildiği görülmüştür. Reaksiyonlar:



Pirit ile reaksiyonlar:



2.2.4. ELEKTROKİMYASAL YÖNTEM

Kömürün elektrolizine dayanan bir yöntemdir. Bu konuda yapılan araştırmaların birinde (14), 1.M NaOH ile oluşturulan kömür çamuru Pt elektrod kullanılarak elektroliz edilmiştir. Elektroliz sırasında humik asit, CO₂, H₂ bir miktar O₂ ve eser miktarda CH₄, C₂H₂ olduğu görülmüştür. Reaksiyon süresi 48 saat olarak alınmıştır. Sıcaklığın artmasıyla reaksiyon hızının arttığı, Pt elektrod kullanıldığında, grafit elektroddan 2-3 kat daha hızlı reaksiyonların olduğu görülmüştür.

Diğer bir çalışmada (13), Pt elektrod, 325 ml HCl+H₂SO₄ karışımı, 60-75°C sıcaklıkta 15 g kömür örneği ile 16-10

saat'lik elektroliz sonucunda (ortama H₂ katkı maddesi olarak ilave edilmiştir.), kükürtte %83' oranında temizleme sağlanabilmştir.

2.3. LINYİTDEKİ KÜKÜRDÜN YAPISI VE DAĞILIMI

Kömürde bulunduğu yöreye bağlı olarak kükürt içerişleri ve kükürdün şekilleri, dağılımları farklılık gösterir. Yapılan araştırmalar (1), kömürün organik ve anorganik kükürt içerdigini göstermektedir.

2.3.1. ANORGANİK KÜKÜRT

Kömürün yapısında rastlanan anorganik kükürt bileşikleri;

Disülfürler,

Sülfürler ve sülfatlar,

Elementel kükürt olarak sınıflandırılabilir.

2.3.1.1. Disülfürler: Kömürlerde disülfürleri genelde, FeS₂'nin iki kristal şekli olan pirit ve markazit oluşturur. Kübik olanına "pirit", ortorombik olanına "markazit" denilir. FeS₂'nin çoğunu piritik oluşturdugundan "pirit" ismi bütün FeS₂ için kullanılır. Pirit, 5.0 g/cm³ yoğunluğunda, markazit 4.87 g/cm³ yoğunluğundadır. Whelan, markazitin kömür matriksyle iç içe olduğunu, piritin ise gevşek tanecikler halinde bulduğunu belirtmiştir.

2.3.1.2. Sülfürler ve Sülfatlar: Kömürlerde rastlanan sülfatlar miktar olarak azdır, fakat daha çok kömürün hava ile temas eden kısımlarında bulunurlar. kömürde tespit edilmiş

sülfat mineralleri; kalsiyum, demir, baryum tuzları şeklinde ve gevşek kristaller halidelerdir.

Sülfürlü bileşikler olarak; Fe_7S_8 (pirotit), FeS (troilit), PbS (galen), $CuFeS_2$ (kalkopirit), $FeAs_2S$ (arsenopirit), ZnS şeklinde az miktarda rastlamak olasıdır.

2.3.1.3. Elementel Kükürt: Kömürlerde az miktarda elementel kükürt bulunmaktadır.

2.3.2. ORGANİK KÜKÜRT

Hidrokarbon yapıya bağlı olarak bulunan kükürt, toplam kükürdüne %25-65'ini oluşturmaktadır. Kömürlerde rastlanan organik kükürt, fonksiyonel gruplarına göre şu şekilde sınıflandırılabilir (4):

Alifatik ve aromatik tiyoller ($R-SH$, $Ar-SH$)

Alifatik, aromatik ve karışık tiyoeterler ($R-S-R$, $Ar-S-R$, $Ar-S-Ar$).

Alifatik, aromatik ve karışık tiyoeterler ($R-S-S-R$, $Ar-S-S-R$, $Ar-S-S-Ar$).

Tiyofenler ve kondense tiyofenler, gibi hetero gruplar
Sıklık sülfürler.

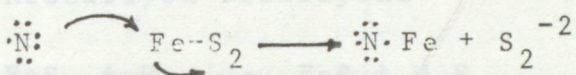
Organik kükürt türleri ve dağılımı ile ilgili verilerin çok az bir kısmı doğrudan kömür üzerinde yapılan gözlemlerin sonucudur. Bilgilerin çoğu, organik yapı kırılarak (depolimerizasyon) daha küçük moleküllü ürünlerin incelenmesi ile edinilmiştir.

Organik sülfür hidrokarbon yapıya bağlı olarak kömürün her yanına homojen bir şekilde dağılmıştır (5).

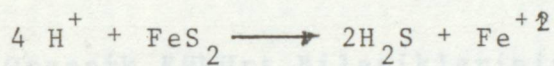
2.4. KÜKÜRT GİDERME REAKSİYONLARININ KİMYASI

2.4.1. Piritin Kimyasal Reaksiyonları: Kömürden piritik kükdün giderilmesinde, piritin şu reaksiyonlarından faydalananılır (3):

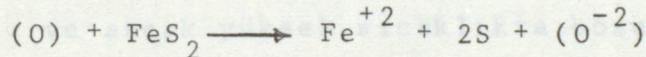
Yer değiştirme reaksiyonları



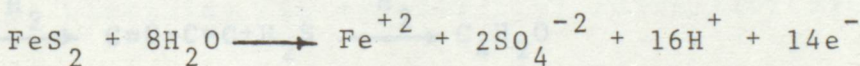
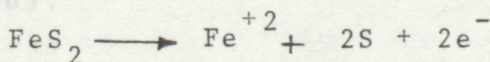
Asit-baz nötralizasyonu



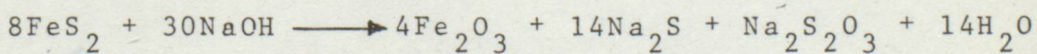
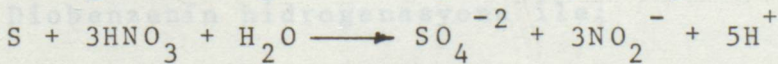
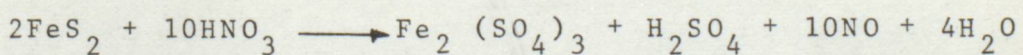
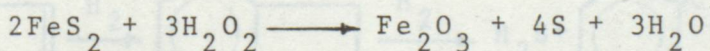
Oksidosyon reaksiyonu

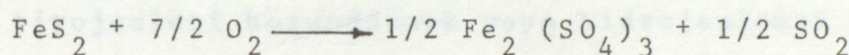
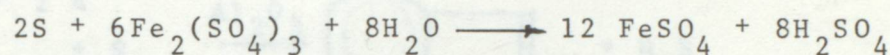
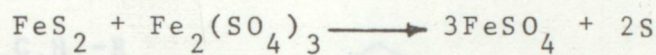
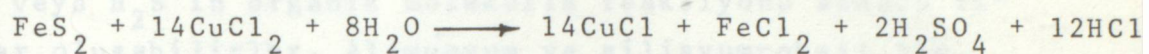


a) Elektrokimyasal potansiyel açısından değerlendirme:

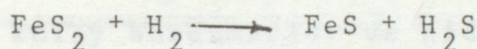


b) Gerçekleşen kimyasal reaksiyonlar:



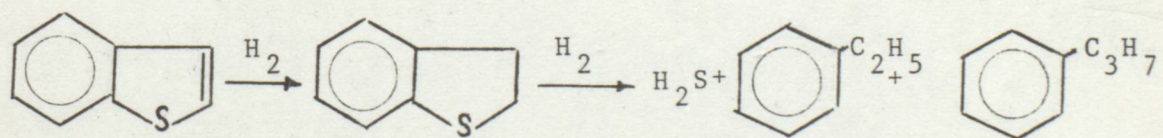
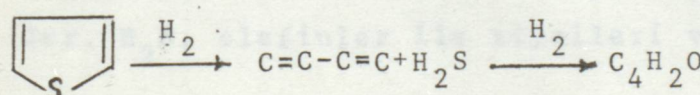


Redüksiyon reaksiyonu

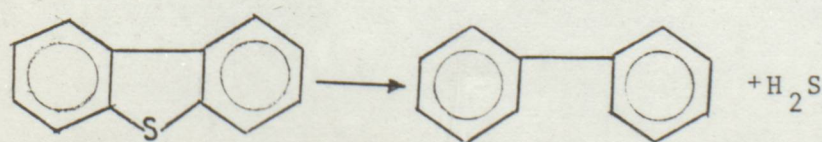


2.4.2. Organik Kükürt Bileşiklerinin Reaksiyonları:

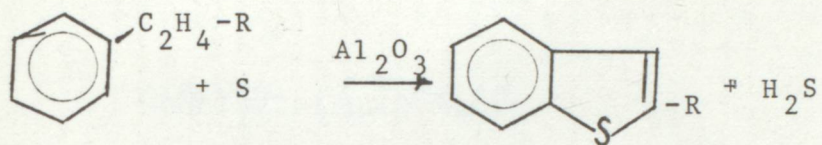
Organik kükürt bileşiklerinden tiyofenler oldukça kararlı ve ancak yüksek sıcaklıkta bozunan yapıya sahip-tirler. Tiyofenik halkanın bozunması ancak 800°C civarında olasıdır. Hidrojenasyon aşağıdaki denklem gereğince gerçekleşir (6).



Diobzenenin hidrojenasyonu ile;



Sülfür veya H_2S 'in organik moleküle reaksiyonu sonucu tiyofenler oluşabilirler. Alimünyum ve silisyum-oksit ile, kömürdeki diğer mineraller katalizör rolü oynarlar.



Oluşan tiyojenleri bozundurmak veya hidrojenlemek çok zordur.

Kömürde bulunan organik kükürt bileşiklerinden olan sülfürler, aril, siklik veya alifatik olabilirler. Aril sülfürler kolay bozunmazlar ve hidrojenlenmeleri de zordur. Alifatik sülfürler ise daha dayaniksızdırular ve bozunarak doymamış bileşikler ile H_2S oluştururlar. Siklik sülfürler alifatiklerden daha çok, fakat aromatiklerden daha az dayanıklıdır- lar. Sülfürler genel olarak hava ile oksitlenemezler.

Diger organik kükürt bileşiklerinden olan tiyoller ve disülfürler kolayca bozunarak H_2S ile doymamış bileşikler verirler. Hidrojen, tiyollerini H_2S 'e ve hidrokarbonlara indirger; oksijen ise disülfürlere oksitler. Oksijen, disülfürleri de sülfonlara ve sulfositlere veya hepsini sülfonik asitlere oksitler. H_2S , olefinler ile tiyollerini ve sülfürleri oluşturur (7).

3. DENEYSEL ÇALIŞMALAR

DENEYSEL ÇALIŞMALAR

3.1. ÇALIŞMADA KULLANILAN MATERİYALLER

3.1.1. Kömür Örneklerinin Hazırlanması

Çalışmanın yapıldığı kömürler rezervleri yüksek olan, Tunçbilek (Tavşanlı), Keles (Bursa), Seyitömer (Kütahya) yörelerinden alınmıştır.

Ocaklardan alınan kömürler kapalı kaplar içinde laboratuara getirilmiş ve alınan numuneler çeneeli kırıcıda 3 mm tane boyutuna getirilip havada sabit tartıma gelinceye kadar kurutulmuştur. Laboratuar tipi bir küreli değerlendirmede öğütülerek, standart eleklerle elenmiştir. Tane büyülüüğünün etkisi araştırılmadığı durumlarda -0.144 mm tane büyülüüğünde çalışma yapılmıştır. Tane büyülüüğünün önemli olduğu durumlarda, $+ 0.144 - 0.200 + 0.200 - 0.560 + 0.560 - 0.800$ mm lik tane büyülükleri seçilmiştir.

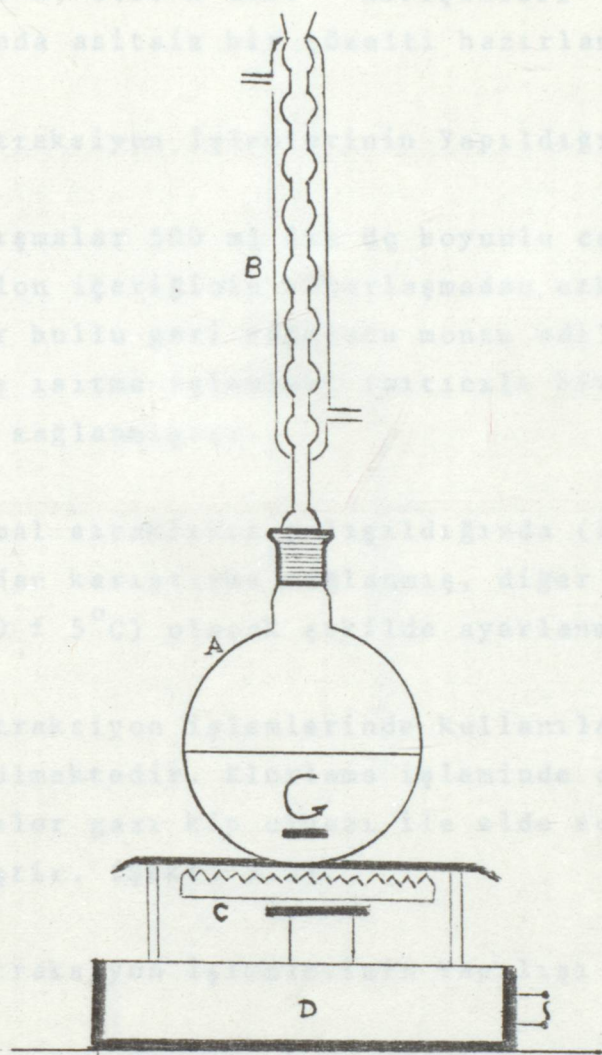
3.1.2. Katı-Sıvı Ekstraksiyon Çözüçüleri

Derişimin etkisi araştırılırken hazırlanan çözeltilerde yüksek asidite seçilmiştir. 10.0 M HCl çözeltisi çözücü olarak kullanılmış; 2.0 M, 1.50 M, 1.0 M, 0.50 M, 0.25 M'lik demir-3-klorür çözeltileri hazırlanmıştır. Asiditenin değişimi ; 1.0 M demir-3-klorür derişimi sabit tutularak

3.1.3. 薦制的生物活性蛋白質 (Protein) 疾病抗原 (Disease Antigen)

Diagram B illustrates a vertical column of alternating magnetic poles (N and S) on the left, and a horizontal bar magnet on the right.

Başlıca teknolojilerdeki teknolojilerin (örneğin, 3D yazıcılar, yapay zeka ve makine öğrenmesi) kullanımları konusunda, teknolojiyi yöneten bireylerin bilgiye erişimi ve teknolojinin etkilerini anlaması gerekmektedir.



Şekil 3.1.: Normal sıcaklıktaki ($20\pm5^{\circ}\text{C}$) Ekstraksiyon işlemlerinin ve kükürt türlerinin yapıldığı aparat.

- A- Tepkime kabı,
 - B- Geri soğutucu,
 - C- Isıtıcı,
 - D- Magnetik karıştırıcı.

10.0 M, 1.0 M, 0.50 M asit derişimleri seçilmiştir. Bunun yanında asitsiz bir çözelti hazırlanmıştır.

3.1.3. Ekstraksiyon İşlemlerinin Yapıldığı Düzenekler:

Çalışmalar 500 ml lik üç boyunlu cam balonda yapılmıştır. Balon içeriğinin buharlaşmadan etkilenmemesi için, üzerine bir bullu geri soğutucu monte edilmiştir. Karıştırma ve ısıtma işlemleri ısıticili bir magnetik karıştırıcı ile sağlanmıştır.

Normal sıcaklıkta çalışıldığında ($20 \pm 5^{\circ}\text{C}$), ısıticı kullanılmadır karıştırma sağlanmış, diğer sıcaklıklar ($40 \pm 5^{\circ}\text{C}$) ve ($80 \pm 5^{\circ}\text{C}$) olacak şekilde ayarlanmıştır.

Ekstraksiyon işlemlerinde kullanılan düzenek Şekil 3.1, 3.2'de görülmektedir. Klorlama işleminde aynı balon kullanılmış fakat klor gazı kip cihazı ile elde edilerek çözelti içine gönderilmiştir. (Şekil 3.3).

3.1.4. Ekstraksiyon İşlemlerinin Yapılışı

Şekil 3.1, 3.2, 3.3 de gösterilen düzeneklerle yapılan ekstraksiyon işlemlerinde, standart denemeler için 100 ml şözü ve 30 g'lık kömür örneği kullanılmıştır. 500 ml'lik bir cam balonda ve geri soğutucu altında istenilen sıcaklığa kadar ısıtılmış, bu sıcaklığa gelindikten sonra belirli ve sabit bir hızla, 1 saat süreyle karıştırma işlemine devam edilmiştir.

Ekstraksiyon işlemlerinden sonra, karışım bir hunide süzülmüş ve ekstrakt alınarak sülfat tayini yapılmıştır. Rafinat seyreltik HCl ile, kömür üzerinde Fe^{3+} , Fe^{2+} kalıntıları

Kaimayincaya kadar yükselerler. Daha sonrakasını ile yikar
narak bir sonraki eksti on İşleminde kullanmak üzere ku-
cuklasmaktır.

Alyan-har Tiyi  -agi, il kez ekstrakte edilniq, tarifat, iglem, yspidik, **B** yones korutulnarak analizlerini yapsalmasi leib bazar jarmi.

Ekspektasyonlara göre  dilen kam
lige erişebilir. Bu da  işe yarayacaktır.

The diagram shows a bridge circuit. The top horizontal branch contains a resistor labeled 'C'. The left vertical branch contains another resistor. The right vertical branch contains a dependent current source, indicated by a triangle symbol with a variable 'x' inside. The bottom horizontal branch is a common ground rail.

Şekil 3.2.: $(40 \pm 5^{\circ}\text{C})$ ve $(80 \pm 5^{\circ}\text{C})$ sıcaklıkta ekstraksiyon işlemlerinin yapıldığı aparat. A- Tepkime kabı, B- Geri soğutucu, C- Isıtıcı, D-Magnetik karıştırıcı, E- Termometre.

kaşmayıncaya kadar yıkamıştır. Daha sonra saf su ile yıkınarak bir sonraki ekstraksiyon işleminde kullanmak üzere kurutulmuştur.

Alınan her linyit örneği, üç kez ekstrakte edilmiş, rafinat, işlem yapıldıktan sonra kurutularak analizlerin yapılması için hazırlanmıştır.

Klor gazı ile ekstraksiyon yapılmırken; 70 g'lık linyit örneği, 200 ml saf su ile birlikte balona konmuş, geri soğutucu altında ($70 \pm 5^{\circ}\text{C}$) sıcaklığı kadar ısıtılmış ve kip cihazından elde edilen Cl_2 gazı çözelti içine gönderilerek yapılmıştır. Seçilen 1 saatlik işlem süresince karıştırmaya devam edilmiş ve işlem sonucunda süzülen rafinat bol miktarda saf suyla yıkayıp kurutulmuş ve analizi yapılmıştır.

Ekstraksiyon sonunda elde edilen kömür numunesinin analiz yöntemleri ek (1)'de verilmiştir.

3.1.5. Ekstrakte Edilmiş Kömür Örneklerinin Çeşitli Bileşenlerinin Hesaplanması'nda Uygulanan Yöntemler:

Ekstraksiyon işleminde 30.0 g orjinal kömür kullanılmıştır. Fakat işlemler sırasında, kömürün bileşenlerinin yüzde miktarlarında meydana gelen görelî değişimler dışında, aynı numunenin 3 kez arkaya arkaya ekstraksiyonu, yıkama ve süzme işlemleri gibi nedenlerden dolayı, miktarlarında önlemesi olanaksız bazı kayıplar olmaktadır. Bu nedenle, işlem görmüş kömürlerden giderilen çeşitli bileşenlerin yüzde miktarının hesaplanması'nda elde edilen ekstrakte edilmiş kömür örneğinin ağırlığı yerine, orjinal örneğin değişmeyen bir bileşeni olan sabit karbon miktarı esas alınmıştır. Ek II'da bir örnek olarak, 1.0 M HCl çözeltisi ile hazırlanmış olan 1.0 M demir-3-

Tablo 3.2.5: 1.0 M demir-3-klorür çözeltisiyle Keles kömürü örneğinin ekstraksiyonu sonunda elde edilen ekstraktaki SO_4^{2-} iyonu miktarına bağlı olarak hesaplanmış mg kükürt miktarları.

EKSTRAKSİYON SAYISI	EKSTRAKTDA TESPİT EDİLEN KÜKÜRT MİKTARLARI (mg)				
	ÇÖZÜCÜ DERİŞİMLERİ (mol/l)				
	2.00	1.50	1.00	0.50	0.25
1	273.268	275.8784	264.2003	297.3112	333.1699
2	79.4112	45.2012	26.6535	15.2502	32.9735
3	0.4808	0.5358	10.9911	0.6870	0.0659

Sekil 3.2.5'te verilen ekstraksiyon prosesini Klorür işlemiinin yapıldığı yerdir. A= Dengeleme kapı, B= Geri döşetme, C= İkinci, D= Magnetik kuyrukfüze, E= Tepkime zar, F= Klor gazı girişini saglayan kapılılar bozuk.

klörür çözeltisiyle şakrakte edilmiş Reles linyit bruslarının çeşitli bileşenlerinin, orijinal Reles linyit brusındaki sabit karbon miktarı gibi elinşenerek yapılan örnekler verilmiştir. Bu çalışmada refinasyon aşaması ile legenlerin hazırlamasında bu yöntem uygulanmıştır.

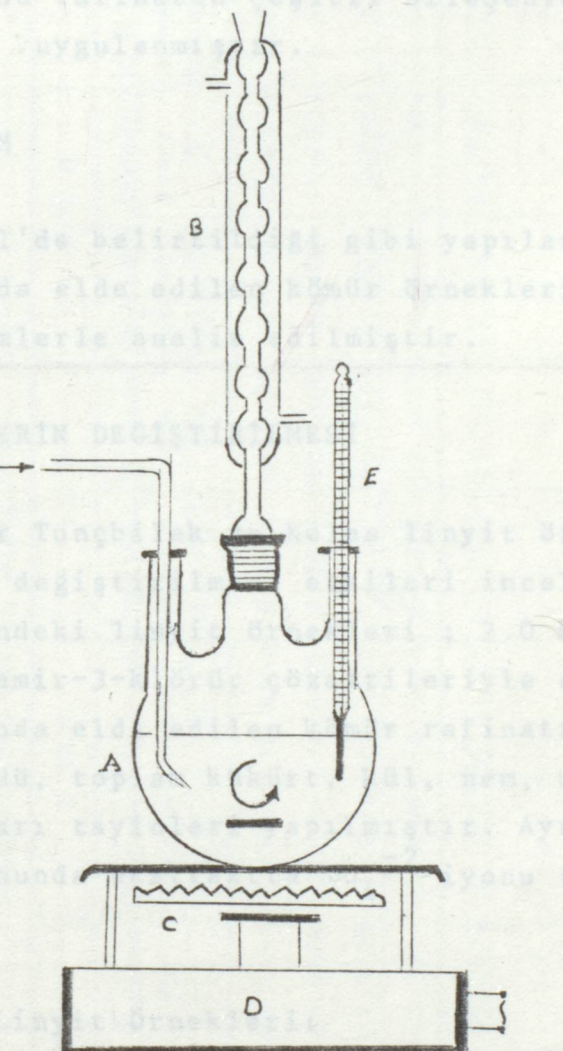
3.2. DENEL KISIM

Bölüm 3.1'de belirtildiği gibi yapılan ekstraksiyon işlemi sonunda elde edilen örnekler brusları (1) de enlatılen yorumlarıla analiz edilmiştir.

3.2.1. DEFİNİTİF DENEMLER

Deneçek tanımı: Linyit brusları (1) de derişimlerin değişimi, linyit brusları incelemesidir. -0,164 mm tane iriliğindeki linyit brusları 3.0 N HCl (1:1), 1.5 M, 1.0 M, 0.5 M, 0.25 M demir-jelatin bantları ile ekstrakte edilmişdir. İşlem sonunda elde edilen linyit brusları refinasyon esnasında pirit kükürü, topuklu kükür, humus, silika madde, sabit karbon miktarı tayin edilmiştir. Ayrıca her bir ekstraksiyon işlemi sonunda linyit brusları incelemeleri yapılmıştır.

3.2.1.1. Reles linyit örneği



Şekil 3.3.: $(75 \pm 5^{\circ}\text{C})$ sıcaklıkta yapılan Klorlama işleminin yapıldığı aparat. A- Tepkime kabı, B- Geri sóğutucu, C- Isıtıcı, D- Magnetik karıştırıcı, E- Termometre, F- Klor gazı girişini sağlayan kapiler boru.

klörür çözeltileriyle ekstrakte edilmiş Keles linyit örneğinin çeşitli bileşenlerinin, orjinal Keles linyit örneğindeki sabit karbon miktarı esas alınarak yapılan hesaplar verilmiştir. Bu çalışmada rafinatın çeşitli bileşenlerinin hesaplanmasıında bu yöntem uygulanmıştır.

3.2. DENEL KISIM

Bölüm 3.1'de belirtildiği gibi yapılan ekstraksiyon işlemleri sonunda elde edilen kömür örnekleri Ek(I) 'de anlatılan yöntemlerle analiz edilmiştir.

3.2.1. DERİŞİMLERİN DEĞİŞTİRİLMESİ

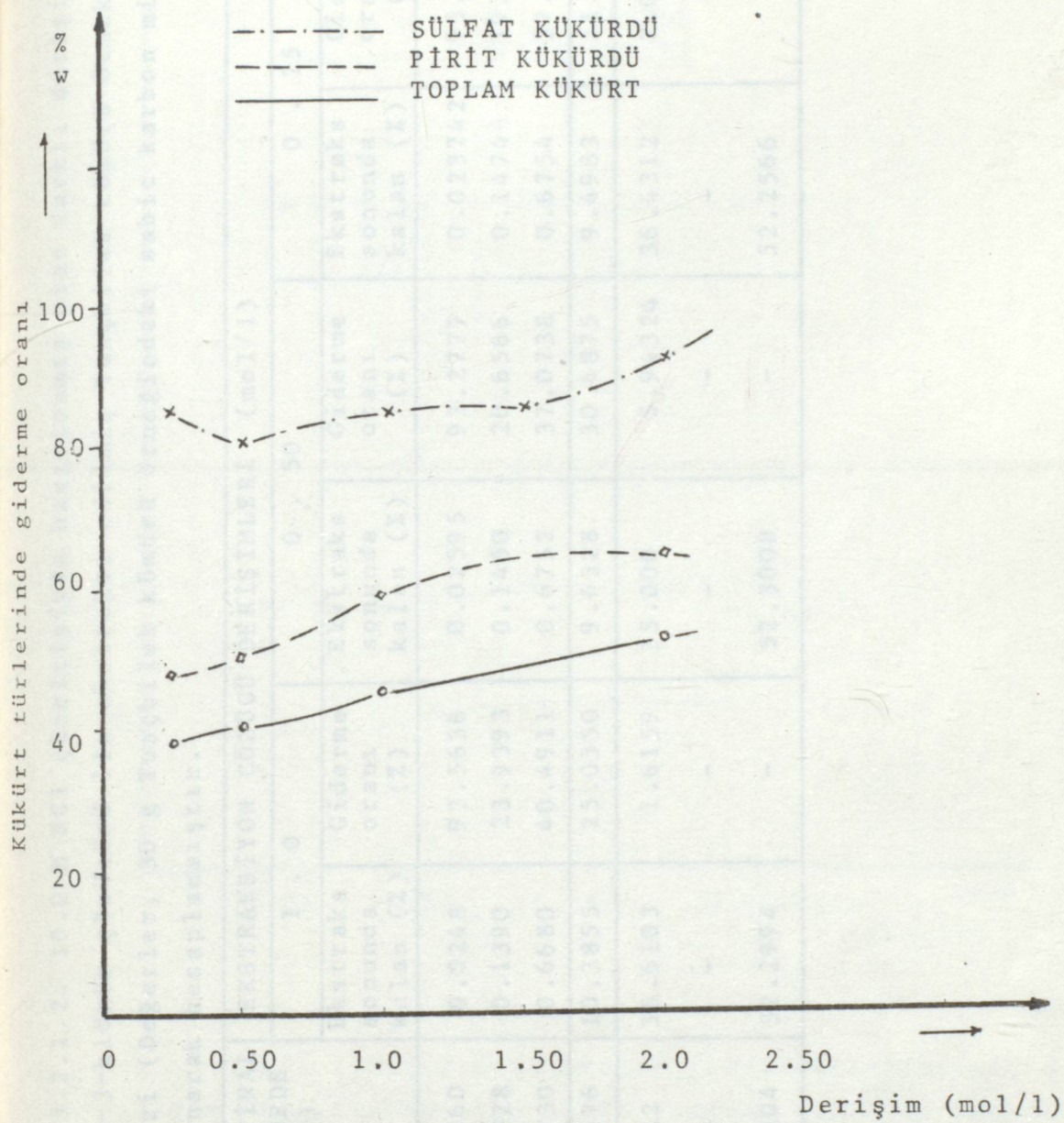
Denemeler Tunçbilek ve Keles linyit örnekleri üzerinde derişimlerin değiştirilmesi etkileri incelenmiştir. -0,144 mm tane iriliğindeki linyit örnekleri ; 2.0 M, 1.5 M, 1.0 M, 0.5 B, 0.25 M demir-3-klörür çözeltileriyle ekstrakte edilmiştir. İşlem sonunda elde edilen kömür rafinatında sülfat kükürüdü, pirit kükürüdü, toplam kükürt, kül, nem, uçucu madde, sabit karbon miktarı tayinleri yapılmıştır. Ayrıca her bir ekstraksiyon işlemi sonunda ekstraktta SO_4^{2-} iyonu tayinleri yapılmıştır.

3.2.1.1. Keles Linyit Örnekleri:

2.0 M, 1.5 M, 1.0 M, 0.5 M, 0.25 M demir-3-klörür çözeltileriyle yapılan ekstraksiyon işlemleri sonucunda elde edilen rafinatın analiz sonuçları, orjinal Keles linyit örneğinin içeriği sabit karbon miktarı esas alınarak hesaplanmış ve Tablo 3.2.1.1'de toplu olarak verilmiştir. Ayrıca her bir ekstraksiyon işlemi sonucunda süzülerek alınan ekstrakt daki SO_4^{2-} iyonları miktarı da kantitatif olarak tayin edilmiştir.

Tablo 3.2.1.1.: 10.0 M HCl çözeltisinin sözcüğünün kullanımı farklı derişimlerdeki demir-3-klorür sözcüğüyle ekstrakte edilmiş, Keles kömürü örneklerinin analizi, (Değerler, 30 g Keles kömürü örneğindeki sabit karbon miktarı esas alınarak hesaplanmıştır).

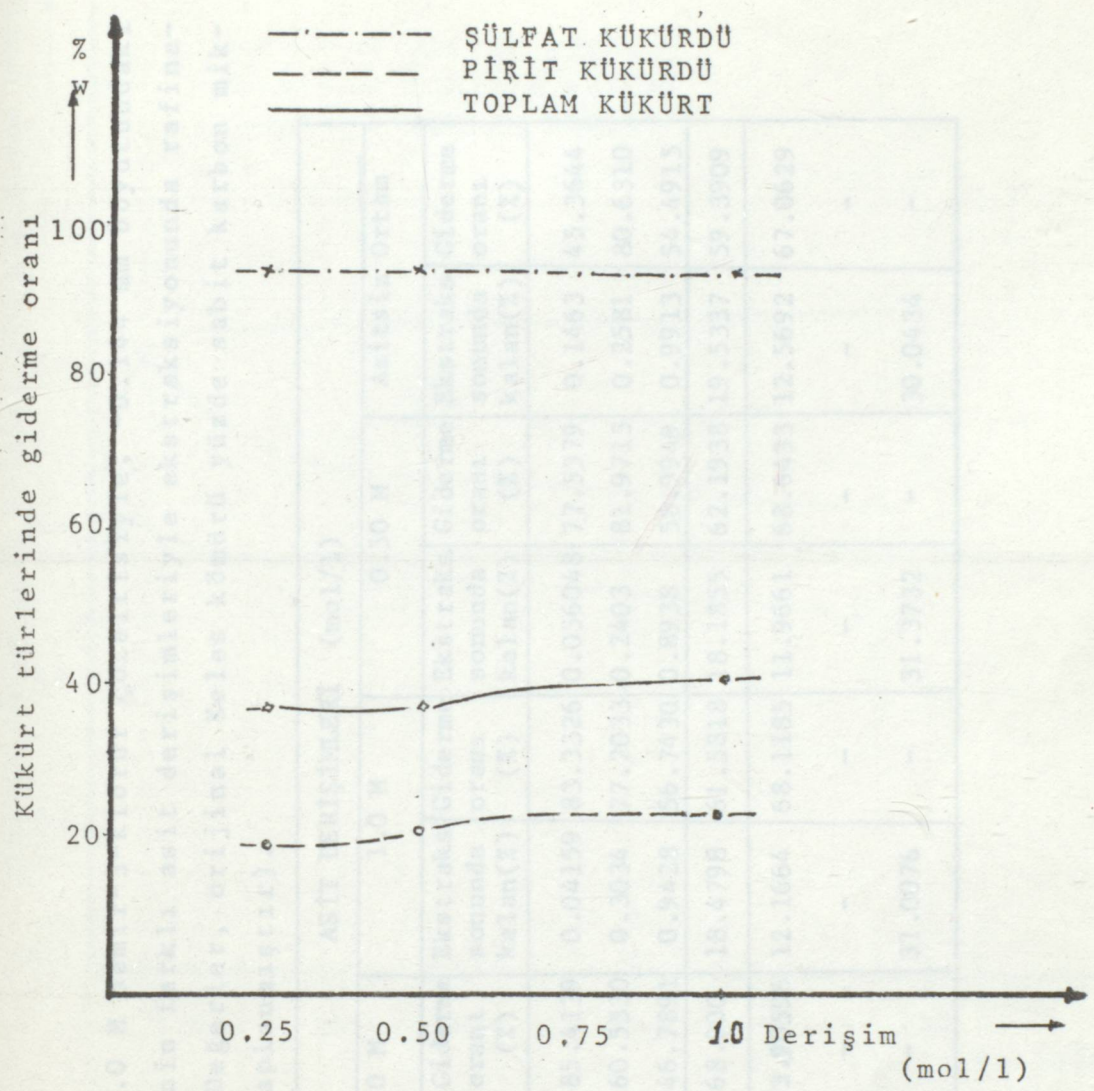
KIRLETİCİ BİLESİNLER (%)	ORJİNAL KÖMÜRDE (%)	EKSTRAKSİYON ÇÖZÜCÜ DERİŞİMLERİ (mol/l)					
		2.0 M	1.50 M	1.0 M	0.50 M	0.25 M	
SÜLFAT	0.2496	0.0178	93.1151	0.0344	86.2153	0.0364	85.4138
PIRİT	1.3326	0.3929	65.0809	0.7156	46.0521	0.5259	60.5329
KÜREKLİ KİTRİ	2.1796	1.0036	53.7716	1.3474	38.1810	1.1597	46.7890
KÜL	48.1018	16.2447	66.23	20.8856	56.5804	20.1819	58.0433
UÇUCU MADDE	38.1613	11.9073	68.7975	15.3339	59.81798	13.7735	63.9059
DİĞER DİLEŞENLER	12.63	-	-	-	-	-	-
SABİT KARBON	13.7869	33.0974	-	32.6784	-	33.1481	33.8495
						-	32.4800



Şekil 3.2.1.1.: Keles linyit örneklerinin demir-3-klorür derişimlerinin değiştirilmesine bağlı olarak, kükürt türlerinde giderilme oranlarının grafiksel gösterimi.

Tablo 3.2.1.2. 10.0 M HCl çözeltisiyle hazırlanan farklı derişimlerdeki demir-3-klorür çözücü ile ekstrakte edilmiş Tunçbilek kömürü örneklerinin analizi (Değerler, 30 g Tunçbilek kömürü örnegindeki sabit karbon miktarı esas alınarak hesaplanmıştır.

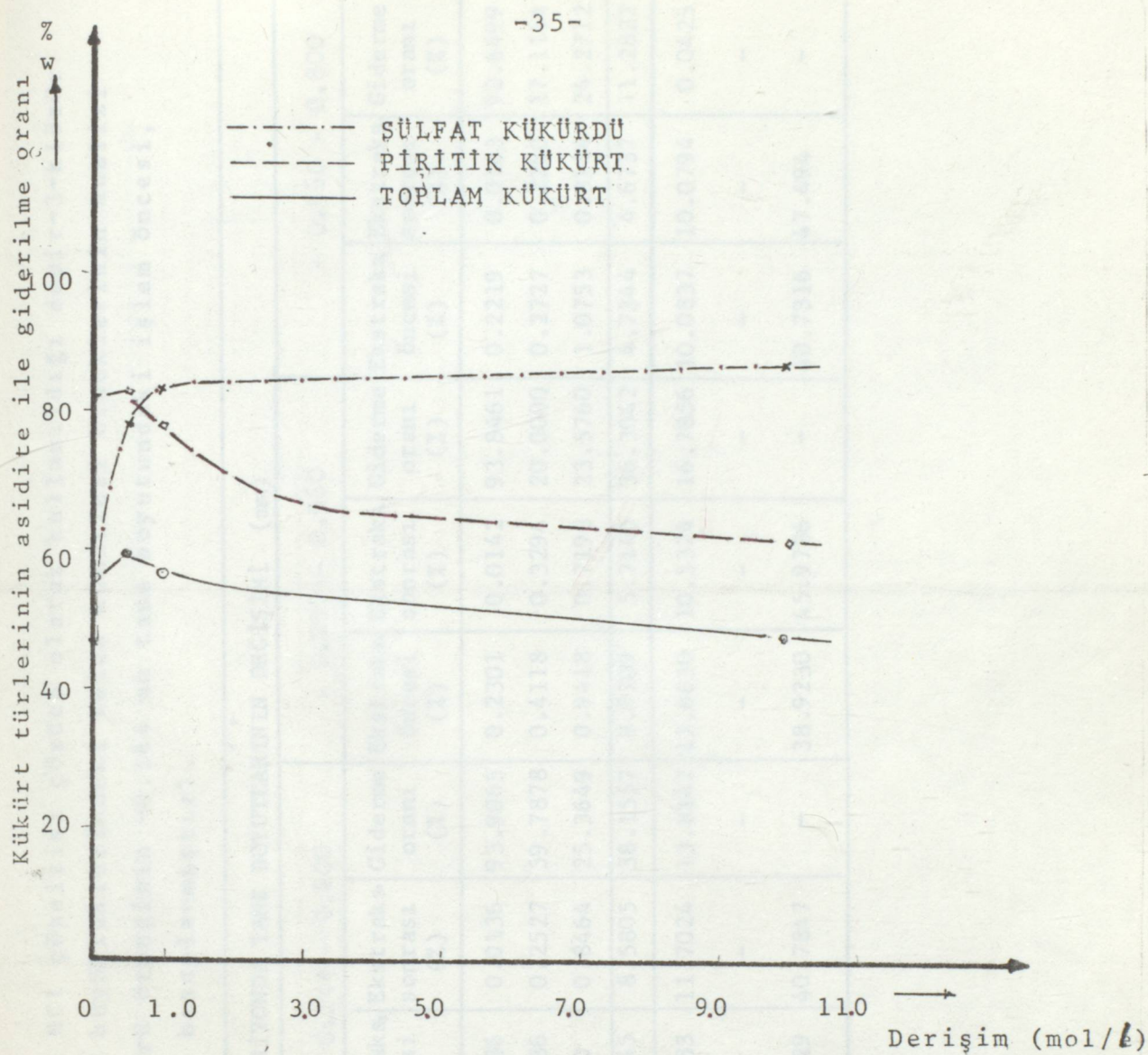
KIRLETİCİ BİLEŞENLER	ORJİNAL KÖMÜRDE (%)	EKSTRAKSİYON ÇÖZÜCÜ DERİŞİMLERİ (mol/l)					
		1 . 0	0 .. 50	0 .. 50	Eksstraks sonunda kalan (%)	Giderme orani (%)	Eksstraks sonunda kalan (%)
H ₂ REKLİ K ₂ CU ₂ K ₄ TOPLAM	0.3860 0.1828 1.0730	0.0248 0.1390 0.6680	93.5636 23.9393 40.4911	0.02595 0.1450 0.6752	93.2777 20.6566 37.0738	0.023742 0.1474 ₄ 0.6754	93.84922 19.3521 37.0572
KÜL	13.8576	10.3855	25.0550	9.6328	30.4875	9.4983	31.4578
UÇUCU MADDE NEM SABIT KARBON	37.212 11.00 48.9304	36.6103 — 52.2994	1.6159 — —	35.000 — 52.3000	5.94324 — —	36.4312 — 52.2566	2.0982 — —



Şekil 3.2.1.2.: Tunçbilek linyit örneklerinin derisimin değiştirilmesine bağlı olarak, 0.144 mm tane boyutu ve ($80 \pm 5^\circ\text{C}$) da kükürt türlerinde giderme oranları.

Tablo 3.2.2.: 1.0 M demir-3-klorür gözeltisiyle, -0.144 mm boyutundaki Keles kömürü örneklerinin farklı asit derişimleriyle ekstraksiyonunda rafinatin analiz sonuçları (Değerler, orijinal Keles kömürü yüzde sabit karbon miktarı esas alınarak hesaplanmıştır).

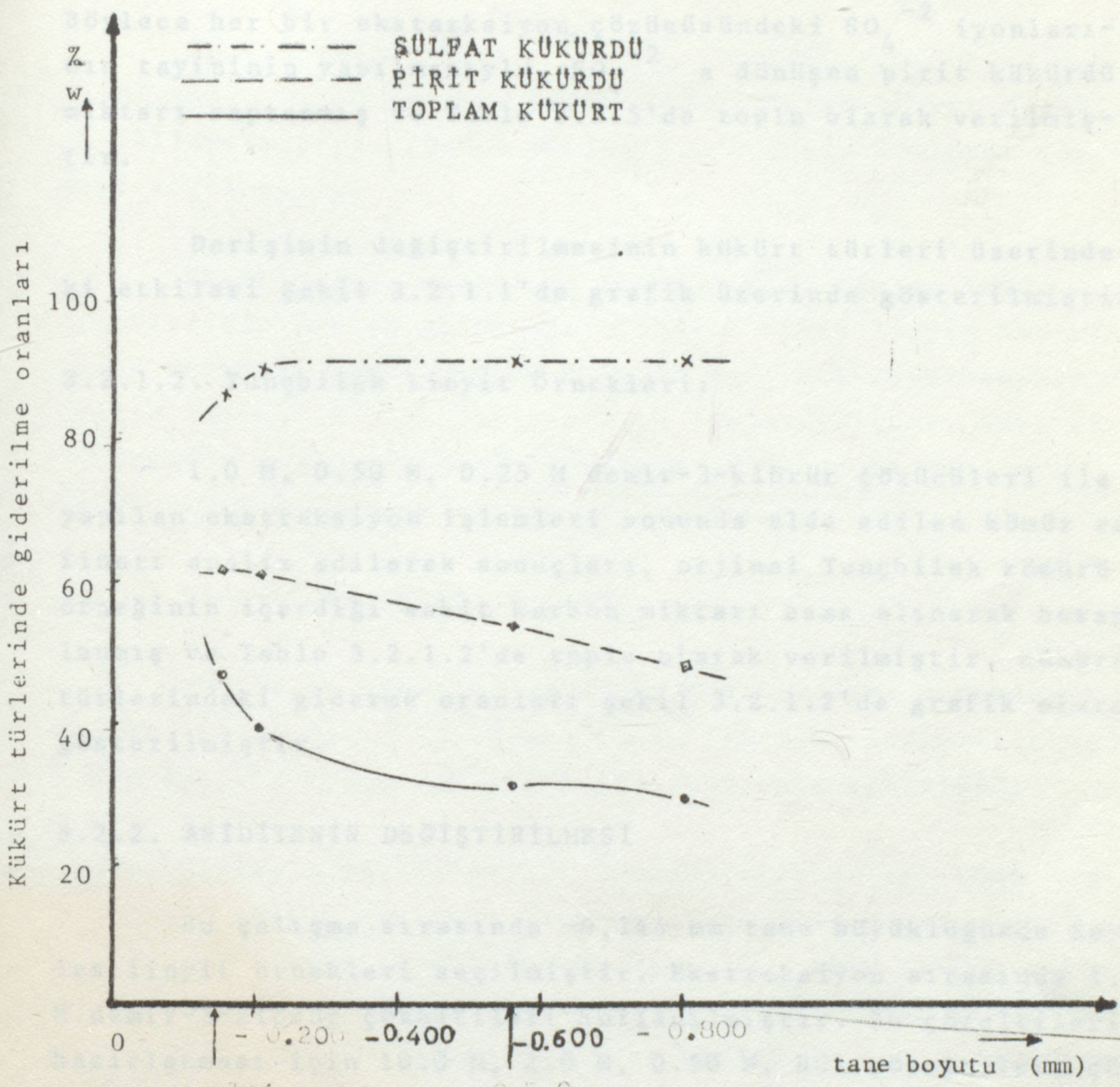
KIRLETİCİ BİLEŞENLER	ORİJİNAL KÖMÜR DEĞERLE- Rİ (%)	ASİT DERİŞ İMLERİ (mol/l)							
		10.0 M	1.0 M	0.50 M	0.50 M	Ekstraks. sonunda kalan(%)	Giderme oranı (%)	Ekstraks. sonunda kalan(%)	Giderme oranı (%)
SÜLFAT	0.2496	0.0364	85.4139	0.04159	83.3326	0.056048	77.5379	0.1463	45.3644
PİRİTTİR	1.3326	0.5294	60.5330	0.3034	77.2033	0.2403	81.9713	0.2581	80.6310
TOPLAM	2.1796	1.1598	46.7891	0.9428	56.7430	0.8938	58.9949	0.9913	54.4915
KÜLTÜRLER	48.1019	15.3926	68.000	18.4798	61.5818	18.1855	62.1938	19.5337	59.3909
ÜÇUCU MADDE	38.1613	13.7736	63.90596	12.1664	68.1185	11.9661	68.6433	12.5692	67.0629
DİĞER BİLEŞENLER	12.63	-	-	-	-	-	-	-	-
SABİT KARBON	13.7868	33.1481	-	31.0076	-	31.3732	-	30.0434	-



Şekil 3.2.2.: Keles linyit örneklerinin, 1.0 M de-
-3-klörür çözeltileriyle, 0.144 mm'lik numunelerinin değişik as-
eler kullanılarak yapılan ekstraksiyon sonucunda kükürt gideril-
oranları.

Tablo 3.2.3.: 1.0 M HCl çözeltisi şövürü olarak kullanıldığı demir-3-klorür çözeltisi ile değişik tane büyüklüklerindeki Keles kömürlerinin analizi (Değerler, 30 g Keles kömürü örneğinin -0.144 mm tane boyutundaki işlem öncesi, sabit karbon esas alınarak hesaplanmıştır).

KIRLETİCİ BİLEŞENLER	EKSTRAKSİYONDA TANE BOYUTLARININ DEĞİŞİMİ (mm)										
	- 0.144	+ 0.144	- 0.200	+ 0.200	- 0.560	+ 0.560	- 0.800				
	Ekstraks. Öncesi (%)	Ekstraks. sonunda (%)	Giderme oranı (%)	Ekstraks. öncesi (%)	Giderme oranı (%)	Ekstraks. sonrası (%)	Giderme oranı (%)	Ekstraks. öncesi (%)	Giderme oranı (%)	Ekstraks. sonrası (%)	Giderme oranı (%)
SÜLFAT	0.2495	0.0364	85.4138	0.2236	0.0136	93.9065	0.2301	0.0142	93.8461	0.2219	0.0163
PİRİT	1.3326	0.5259	60.5328	0.6286	0.2527	59.7878	0.4118	0.3294	20.0000	0.2727	0.2260
TOPLAM	2.1796	1.1597	46.7890	1.100	0.8464	25.3649	0.9418	0.7198	23.5760	1.0753	0.8144
KÜL	48.1018	20.1819	58.0433	13.8745	8.5805	38.1557	8.9709	5.7140	36.3042	4.7344	4.6737
UÇUCU MADDE	38.1613	13.7735	63.9059	13.5783	11.7024	13.8147	12.6630	10.5324	16.7856	10.0837	10.0794
NEM	12.63	-	-	-	-	-	-	-	-	-	-
SABİT KARBON	13.7869	33.1481	-	33.7329	40.7847	-	38.9230	45.9786	-	40.7316	47.494
DİĞER BİLEŞENLER											



Şekil 3.2.3.: Keles linyitlerinin değişik tane boyutlarının 1.0 M demir-3-klorür çözeltileri ile ekstrasyon sonunda kükürt türleri değişimi.

Böylece her bir ekstarksyon çözucusundeki SO_4^{2-} iyonlarının tayininin yapılmasıyla, SO_4^{2-} a dönüşen pirit kükürdü miktarı saptanmış ve Tablo 3.2.5'de toplu olarak verilmiştir.

Derişimin değiştirilmesinin kükürt türleri üzerindeki etkileri Şekil 3.2.1.1'de grafik üzerinde gösterilmiştir.

3.2.1.2. Tunçbilek Linyit Örnekleri:

1.0 M, 0.50 M, 0,25 M demir-3-klorür çözümleri ile yapılan ekstraksiyon işlemleri sonunda elde edilen kömür rafinatı analiz edilerek sonuçları, orjinal Tunçbilek kömürü örneğinin içерdiği sabit karbon miktarı esas alınarak hesaplanmış ve Tablo 3.2.1.2'de toplu olarak verilmiştir. Kükürt türlerindeki giderme oranları Şekil 3.2.1.2'de grafik olarak gösterilmiştir.

3.2.2. ASİDİTENİN DEĞİŞTİRİLMESİ

Bu çalışma sırasında -0,144 mm tane büyüklüğünde Keles linyit örnekleri seçilmiştir. Ekstraksiyon sırasında 1.0 M demir-3-klorür çözeltileri kullanılmıştır. Bu çözeltilerin hazırlanması için 10.0 M, 1.0 M, 0.50 M, HCl çözeltileri çözücü olarak kullanılmıştır. Birde asitsiz 1.0 M demir-3-klorür çözeltisi hazırlanmıştır.

Yapılan ekstraksiyon işlemleri sonucunda elde edilen kömür örneklerinin analiz sonuçları, orjinal Keles linyit örneklerinin içерdiği sabit karbon miktarı esas alınarak hesaplanmıştır. Sonuçlar Tablo 3.2.2'de toplu olarak verilmiştir. Kükürt türlerindeki değişim Şekil 3.2.2'de grafik olarak gösterilmiştir.



3.2.3. TANE BÜYÜKLÜĞÜNÜN DEĞİŞTİRİLMESİ

Bu çalışmada -0.144 , $+0.144 - 0.200$, $+0.200 - 0.560$ ve $+0.560 - 0.800$ mm tane büyülüğünde Keles linyit örnekleri kullanılmıştır. Çözücü olarak 1.0 M demir-3-klorür çözeltisi seçilmiştir.

Ekstraksiyon işlemleri sonunda elde edilen kömür örneklerinin analiz sonuçları, orjinal Keles linyit örneklerinin içерdiği sabit karbon miktarı esas alınarak hesaplanmış ve Tablo 3.2.3'de toplu olarak gösterilmiştir. Tane büyülüğünün değiştirilmesinin giderme üzerindeki etkileri Şekil 3.2.3 de grafik olarak gösterilmiştir.

3.2.4. SICAKLIĞIN DEĞİŞTİRİLMESİ

-0.144 mm tane iriliğindeki Keles linyit örnekleri; oda sıcaklığı ($20 \pm 5^\circ\text{C}$), ($40 \pm 5^\circ\text{C}$) ve ($80 \pm 5^\circ\text{C}$) sıcaklıklarda, 1.0 M demir-3-klorür çözucusu ile ekstrakte edilmiştir.

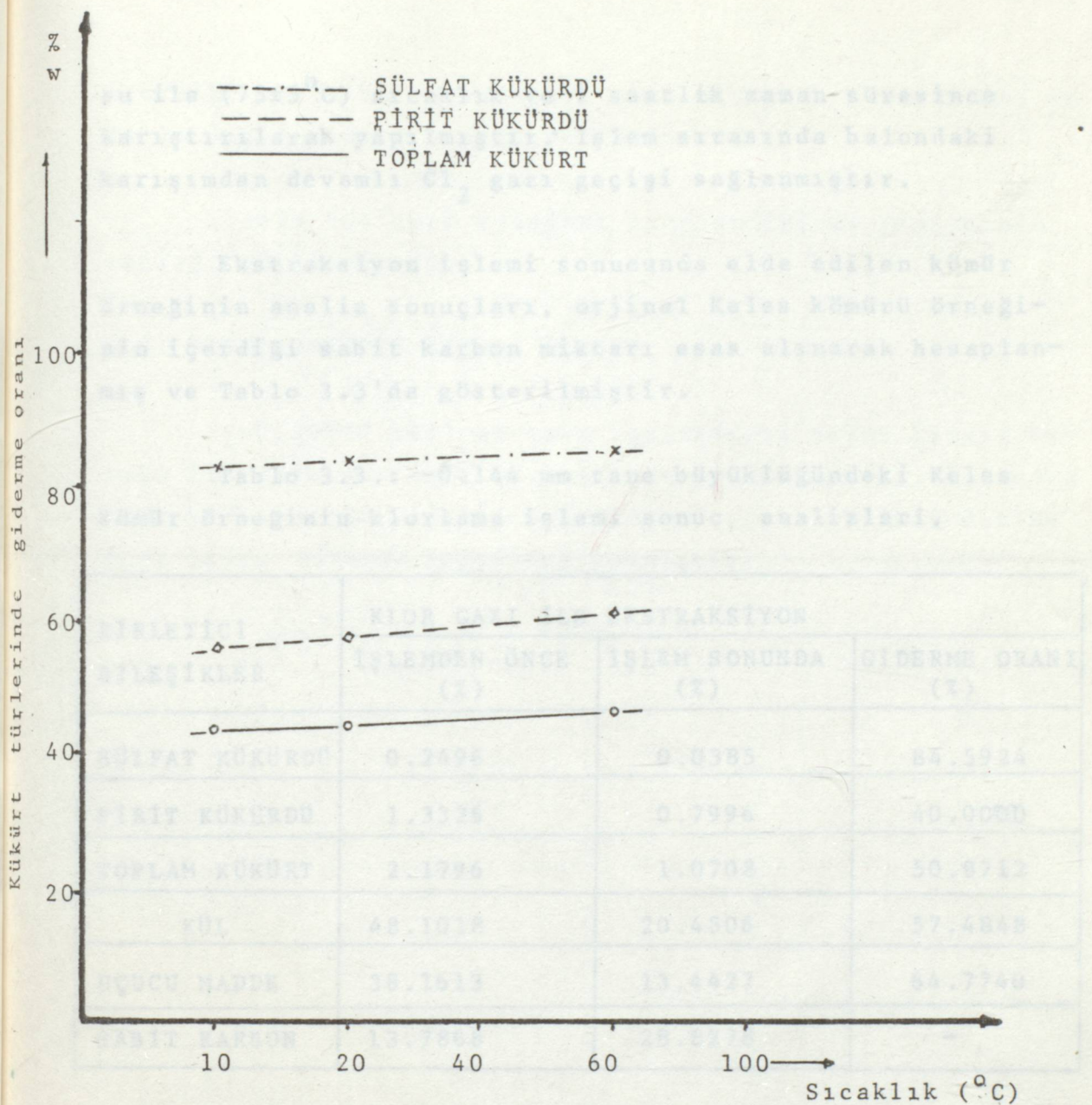
Ekstraksiyon işlemleri sonunda elde edilen kömür rafinatı örnekleri üzerinde yapılmış olan analiz sonuçları, orjinal Keles linyit örneklerinin içерdiği sabit karbon miktarı esas alınarak hesaplanmış ve Tablo 3.2.4'de toplu olarak verilmiştir. Sonuçlar Şekil 3.2.4'de grafik olarak gösterilmiştir.

3.3. KLOR GAZI

Uygulama -0.144 mm tane iriliğindeki Keles kömür örneği ile yapılmıştır. 70 g'lık örnek seçilmiş, 250 ml saf

Tablo 3.2.4. .: 0.0 M demir-3-klöür gözeltisi kullanılarak -0.144 mm tane boyutundaki Keles kömürü örneklerinin değişik sıcaklıklarda ekstraksiyon analiz sonuçları (Değerler, orijinal kömür örneklerindeki yüzde sabit karbon miktarı esas alınarak hesaplanmıştır).

KIRLETİCİ BİRLEŞENLER	ORJİNAL KÖMÜR (%)	EKSTRAKSİYON İŞLEMİNİN YAPILDIĞI SICAKLIKLAR (°C)		
		80 ± 5	40 ± 5	20 ± 5
SÜLFAT	0.2496	0.0364	85.4138	0.04
PİRİT	1.3326	0.5259	60.5330	0.5782
TOPLAM	2.1796	1.1598	46.7891	1.2157
KÜL	48.1018	20.1819	58.0433	20.2131
UÇUCU MADDE	38.1613	13.7736	63.9060	13.9927
NEM	12.63	-	-	-
SARÇT KARBON	13.7869	33.1481	-	31.6780
BİLGİ DİĞER BİRLEŞENLER			-	30.6001



Şekil 3.2.4.: Keles linyit örneklerinin, -0.144 mm tane boyutu ve 1.0 M demir-3-klörür çözeltileri ile kükürt türlerinin sıcaklık değişimi ile giderilme oranları.

su ile ($75\pm 5^{\circ}\text{C}$) sıcaklık ve 1 saatlik zaman süresince karıştırılarak yapılmıştır. İşlem sırasında balondaki karışımdan devamlı Cl_2 gazi geçisi sağlanmıştır.

Ekstraksiyon işlemi sonucunda elde edilen kömür örneğinin analiz sonuçları, orjinal Keles kömürü örneğinin içерdiği sabit karbon miktarı esas alınarak hesaplanmış ve Tablo 3.3'da gösterilmiştir.

Tablo 3.3.: -0.144 mm tane büyüklüğündeki Keles kömür örneğinin klorlama işlemi sonuc analizleri.

KIRLETİCİ BİLEŞİKLER	KLOR GAZI İLE EKSTRAKSİYON		
	İŞLEMDEN ÖNCE (%)	İŞLEM SONUNDA (%)	GİDERME ORANI (%)
SÜLFAT KÜKÜRDÜ	0.2496	0.0385	84.5924
PİRİT KÜKÜRDÜ	1.3326	0.7996	40.0000
TOPLAM KÜKÜRT	2.1796	1.0708	50.8712
KÜL	48.1018	20.4506	57.4848
UÇUCU MADDE	38.1613	13.4427	64.7740
SABİT KARBON	13.7868	28.8278	-

3.4. YIKAMADAN SONRA EKSTRAKSİYON İŞLEMİ

Bu çalışmada; ekstraksiyondan önce, -0.144 mm tane iriliğinde Keles, Tunçbilek, Seyitömer kömür örnekleri 1:10 oranında saf suyla yarım saatlik bir zaman süresince karıştırılarak yıkanmıştır.

Ekstraksiyon işlemi sonucunda elde edilen kömür örneklerinin analiz sonuçları, orjinal kömür örneklerinin

İçerdigi sabit karbon miktarı esas alınarak hesaplanmış ve Tablo 3.4'de toplu olarak verilmiştir.

Tablo 3.4'deki sonuçlar incelendiğinde gidermenin arttığı görülmektedir.

3.5. ELEKTROSTATİK AYIRMA İŞLEMİ

(-0.200+0.144) mm tane boyutundaki Keles linyit örneği ile elektrostatik ayırma işlemi yapılmıştır. İşlemden önce bu boyuttaki linyit örneğindeki pirit yüzdesi 0.6286 dır. İşlem sonunda değer değişmemiştir.

Tablo 3.4.: 1.0 M HCl çözeltisinin sözcüsü olarak kullanıldığı 1.0 M demir-3-klorür çözeltisiyle, -0.144 mm tane iriliğindeki kömürlerin ön yıkamalı ve yakamasız ekstraksiyon analiz sonuçları (Değerler, orijinal kömür örneklereindeki sabit karbon miktarları esas alınarak hesaplanmıştır).

KIRLETİCİ BİLEŞENLER	ÖN YIKAMALI EKSTRAKSİYON İŞLEMLERİ			TUNÇBİLEK		
	RELES KÖMÜRÜ	SEYTÖMER		-Orijinal kömür (%)	Yıkamadan -Orijinal kömür (%)	Yıkamış Yıkamadan -Orijinal kömür (%)
SÜLFAT	0.2495	0.0364	0.0497	0.1900	0.0369	0.0479
PİRİTİK	1.3326	0.5259	0.3509	0.5910	0.4861	0.2757
TOPLAM	2.1796	1.1598	0.9906	1.9888	1.7290	1.5236
KÜL	48.1018	20.1819	18.1176	16.1819	12.2483	7.4060
UÇUCU MADDE	38.1613	13.7736	11.9767	42.7153	40.6150	30.8529
NEM	12.6330	-	-	20.7200	-	-
SABIT KARBON	13.7869	33.1481	31.4187	41.1027	43.7420	51.7948

4. DENEYSEL SONUCLARIN İNCELENMESİ VE DEĞERLENDİRİLMESİ

4.1. METERS İÇİNDEKİLER

Birim T.T'de anlatıldığı gibi yapılan ekstraksiyon islemleri ^{analiz sonuçları} hizalı bir şekilde yapılmış ve tablo olarak verilmiş, ^{topluluklarak verilmiş,} şebekeye ^{istir.}

4. DENEYSEL SONUCLARIN İNCELENMESİ VE DEĞERLENDİRİLMESİ

Kide adıien sonuçların değerlendirilmesiyle beraber ekstraksiyon şartları-derlemeinin, esiditenin, kullanılmış linyit örn-eklerinin tane ikiliğinin ve çökeliğin parametrelerinin de-ğişimiş olmasının ekstraksiyon üzerindeki etkileri belirlen-miştir.

4.1.1. Gözgül DERİSİMLERİNDE EKSTRAKSİYON VERİMİNE ETKİSİ

Table 3.2.1.1'in incelenmesinden, Kiles linyit örn-eklerinin farklı derişimlerdeki deniz-kılıçlısırçalıklarının kullanılmasayla yapılan ekstraksiyon sonuçlarında, Sulfat tüketiminde 583-93'inde, pirit tüketiminin 246-63'ün ve kültür 156-68' nin gösterildiği görülmektedir. Ayrıca rafinasyon ucuu madde içeriğinde 159-66 oranında azalmalar olmuştur.

Table 3.2.2. - incelendiğinde ekstraksiyon sayesinde teknik pirit tüketiminde 50,7% düşümlünde azalmalar olduğu görülmektedir.

Tablo 3.2.1.2'nin incelenmesinden, farklı derişimlerdeki demir-3-klorür çözümlüğü ekstraksiyon sonucunda Tunçbilek linyit örneklerinin, silfet kükürdüün %93-94'ü pirit kükürdüün %46-65'ini elde ettiğini görülmektedir.

4. DENEYSEL SONUÇLARIN İNCELENMESİ VE DEĞERLENDİRİLMESİ

4.1. MEYERS YÖNTEMİ

Bölüm 3.1'de anlatıldığı gibi yapılan ekstraksiyon işlemleri sonunda elde edilen kömür rafinatının analiz sonuçları bölüm 3.2'deki tablolarda toplu olarak verilmiş, Şekillerde grafik olarak gösterilmiştir.

Elde edilen sonuçların değerlendirilmesiyle; ekstraksiyon çözücü derişiminin, asiditenin, kullanılan linyit örneklerinin tane iriliğinin ve sıcaklık parametrelerinin değiştirilmesinin ekstraksiyon üzerindeki etkileri belirlenmiştir.

4.1.1. ÇÖZÜCÜ DERİŞİMLERİNİN EKSTRAKSİYON VERİMİNE ETKİSİ

Tablo 3.2.1.1'in incelenmesinden, Keles linyit örneklerinin farklı derişimlerdeki demir-3-klorür çözümlerinin kullanılmasıyla yapılan ekstraksiyon sonucunda; Sülfat kükürdüün %83-93'nün, pirit kükürdüün %46-65'nin ve külün %56-68 nin giderildiği görülmektedir. Ayrıca rafinatın uçucu madde içeriğinde %59-68 oranında azalmalar olmuştur.

Tablo 3.2.5 incelendiğinde ekstraksiyon sayısının arttıkça pirit kükürdüün SO_4^{2-} 'a dönüşümünde azalmalar olduğu görülmektedir.

Tablo 3.2.1.2'nin incelenmesinden, farklı derişimlerdeki demir-3-klörür çözücüsüyle ekstraksiyon sonucunda Tunçbilek linyit örneklerinin, sülfat kükürdünün %93-94'ü, pirit kükürdünün %19-24'ü ve külün %25-32'nin giderilmiş olduğu uçucu maddenin %2-6 oranında giderildiği görülmüştür.

Şekil 3.2.1.1 deki grafikler incelendiğinde derişimin değiştirilmesinin ekstraksiyon verimi üzerinde bir miktar etkili olduğu görülmüştür. Şekil 3.2.1.2 deki grafiklerden derişimin değiştirilmesinin; Tunçbilek linyit örneklerinin ekstraksiyonunda, ekstraksiyon verimi üzerinde fazla etkin olmadığı görülmüştür.

4.1.2. ÇÖZÜCÜ ASİDİTESİNİN EKSTRAKSİYON VERİMİ ÜZERİNDEKİ ETKİSİ

Tablo 3.2.2'nin incelenmesiyle, değişik asiditedeki demir-3-klörür çözeltileriyle Keles linyit örneklerinin ekstraksiyonu sonuda; sülfat kükürdünün %45-85'nin, pirit kükürdünün %60-80'inin giderildiği görülmektedir. Çözelti asiditesini arttırdıkça kül ve sülfat kükürdünün giderilme oranı artmakta, pirit kükürdünün giderilme oranı azalmaktadır.

4.1.3. TANE BÜYÜKLÜĞÜNÜN EKSTRAKSİYON VERİMİ ÜZERİNDEKİ ETKİSİ

Tablo 3.2.3'de görüldüğü gibi değişik tane iriliğindeki Keles linyit örneklerinin, 1.0 M demir-3-klörür çözeltileriyle ekstraksiyonu sonunda; sülfat kükürdünün %85-92'nin, pirit kükürdünün %17-60'ının giderildiği görülmüştür. Ayrıca tablodan tane iriliği arttıkça kükürt oranının düşüğü, sabit karbon oranının arttığı, kül ve uçucu madde oranının azaldığı görülmektedir.

Şekil 3.2.3'deki grafikler tane iriliğinin artmasının ekstraksiyon verimini olumsuz yönde etkilediği görülmektedir.

4.1.4. SICAKLIĞIN EKSTRAKSİYON VERİMİNE ETKİSİ

Tablo 3.2.4'de görüldüğü gibi Keles linyit örnekleri üzerinde yapılan çalışma sonunda; sülfat kükürdünde %83-85, pirit kükürdünde %60-56, külde %58-60 oranlarında giderilme sağlandığı görülmüştür.

Şekil 3.2.4'de sıcaklığın artmasının pirit kükürdünün ekstrakt çözeltisine geçmesi bir miktar artmakta fakat belirgin bir etki göstermemektedir.

Yukarıda belirtilen sonuçlar Meyers ve Muhtar Kocakerim tarafından da çalışmaları kömür örnekleri üzerinde gözlenmiştir.

4.2. KLOR GAZI İLE YAPILAN ÇALIŞMA SONUÇLARININ İNCELENMESİ

Tablo 3.3 incelendiğinde; sülfat kükürdünün %85'i, pirit kükürdünün %40'ı, kül miktarının %57'si giderilebilmiştir. -0.144 mm tane büyüklüğündeki Keles kömür örnekleri ile yapılan çalışmada organik kükürdün de giderilebileceği görülmüştür.

4.3. YIKAMADAN SONRA EKSTRAKSİYON İŞLEMLERİNİN ETKİSİ

Tablo 3.4 incelendiğinde anorganik artıkların, ön yıkama sonucunda ekstraksiyon işlemi yapıldığında daha fazla giderilebildiği görülmüştür.

4.4. ELEKTROSTATİK AYIRMANIN ETKİSİ

Keles linyit örnekleri ile yapılan çalışmada elektrostatik ayırmayı giderme üzerinde etkili olmadığı görülmüştür.

5. SONUÇ VE ÖNERİLER

-51-

En iyi koşulların şartlanması açısından teknik denışımı, tane büyüklüğü, zaman gibi değişkenler incelenmelidir.

4- Denir-3-kidirirle ekstraksiyon işlemi sonunda oluşan elementel kükürdin giderilmesi için daha uygun bir yöntem bulmak, toluenle ekstraksiyonla etkin olabilecek, gerekçe seviyelerin istenilen yönde artmasını sağlayacak uygun bir kompozisyon bulması ve kinetiginin incelenmesi gerekmektedir.

5. SONUÇ VE ÖNERİLER

1- Yurdumuzun farklı yörelerinden alınan linyit örneklerinin, körür çözeltileriyle özütlenmesi sonunda pirit, sülfat kükürdü ve kül değerlerinde oldukça yüksek oranlarda temizleme sağlanmaktadır. Bu oranın daha da artırılması olasıdır. Çalışma sırasında kükürt oranının düşük olması ve laboratuar şartlarından dolayı, ekstraksiyon sonrası seçimliliğe bağlı olarak az da olsa oluşan elementel kükürt kömür üzerinde tutulduğundan uzaklaştırılamamıştır. Bu nedenle giderilme asıl değerinden daha düşük görülmektedir. Daha sonraki çalışmalarında, toluenle ekstraksiyon ve vakum süblimasyonu yardımıyla elementel kükürt uzaklaştırılmalıdır.

2- Sülfat kükürdünün yüksek olduğu kömürlerde yüksek asiditede, piritik kükürdü yüksek olan kömürler için düşük asidite de çalışılmalıdır.

Yapılan çalışmalar organik kükürdü fazla olan kömürler için daha uygun yöntemler aranması gerektiğini göstermiştir.

3- Klor gazı ile yapılan çalışma sonunda, organik kükürdün giderilmesinde de iyi sonuç alınması; yöntemin, organik kükürdü fazla olan kömürlere uygulanabileceğini göstermiştir.

En iyi koşulların saptanması açısından; sıcaklık değişimi, tane büyüklüğü, zaman gibi değişkenler incelenmelidir.

4- Demir-3-klorürle ekstraksiyon işlemi sonunda oluşan elementel kükürdün giderilmesi için daha uygun bir yöntem bulunması, gerek reaksiyonlar üzerinde etkin olabilecek, gerekse seçimliliğin istenilen yönde artmasını sağlayacak uygun bir katalizör bulunması ve kinetiğinin incelenmesi üzerinde çalışılması gereken konulardır.

5- Ekstraksiyon çözucusu olarak FeCl_3 çözeltisi yerine $\text{Fe}_2(\text{SO}_4)_3$ çözeltisinin kullanılması denenebilir. Kömürün kendi yapısında da bulunan bu reaktifle çalışıldığında, kömürün yabancı bir maddeyle kirlenmesi söz konusu olmayacağıdır.

3. Meyers, R.A., "Coal Desulfurization", Marcel Dekker, Inc. New York, 1977.

4. Açıkkerman, M.H., "Bazı Türkiye Kömürlerinin Kimyasal Yollarla Anorganik Kırleticilerden Arındırılması", Doçentlik Tezi, Azet Türk Üniversitesi Temel Bilimler ve Tercihci Diller Yüksek Okulu Kimya Bölümü, Erzurum, 1981.

5. Lowry, H.B., "Chemistry of Coal Utilization", Printed in the United States of America, Vol 1, 1945.

6. Atter, A., "The Fundamental Interaction of Water and the Modelling of Sulfur Distribution in the Products of Coal Pyrolysis", Chemical Engineering Department, University of Houston, October, 1976.

7. Koçukbayrak, S., "Farklı kükürt giderme yöntemlerinin çeşitli Türk Linyitlerinde Uygulanması", Doktora Tezi, B.T.U., İstanbul, Şubat 1984.

8. Nekeman, S., "Kömür, Kaya, Taşınları, No.171, April, 1978.



9. T.K.I. Türkiye Kömür İletmeleri Kurumu, 1981
uretim gizelgeleri.
10. Karge, E., Robinson, J.M., "Removal of Oxygenated Sulfur From Bituminous Coal", Fuel, Vol. 55, 1976.

11. Duman, Z., Gurbayoglu, C., Hicyilmaz, G., Sarikaya,

KAYNAKLAR

1. Biron,C., "Türkiye Kömürlerinin Fiziksel ve Kimyasal Özellikleri ve Rezervler", Uluslararası Kömür Teknolojisi Semineri, İ.T.Ü. Maden Fakültesi Maden Müh. Böl., İstanbul, 1983, 23-52.
2. Ateşok,G., "Kömür Hazırlama", İ.T.Ü., İstanbul, 1986.
3. Meyers, R.A., "Coal Desulfurization", Marcel Dekker, Inc. New York, 1977.
4. Kocakerim, M.M., "Bazı Türkiye Kömürlerinin Kimyasal Yollarla Anorganik Kirleticilerden Arındırılması", Doçentlik Tezi, Atatürk Üniversitesi Temel Bilimler ve Yabancı Diller Yüksek Okulu Kimya Bölümü, Erzurum, 1981.
5. Lowry, H.H., "Chemistry of Coal Utilization", Printed in the United States of America, Vol 1, 1945.
6. Attar, A., "The Fundamental Interactions of Sulfur and The Modeling of Sulfur Distribution in The Products of Coal Pyrolysis", Chemical Engineering University of Houston, October, 1976.
7. Küçükbayrak, S., "Farklı Kükürt giderme yöntemlerinin Çeşitli Türk Linyitlerine Uygulanması", Doktora Tezi, İ.T.Ü., İstanbul, Şubat 1984.
8. Nakoman, E., "Kömür", M.T.A. Yayınları, No.171, Ankara, 1978.

9. T.K.İ. Türkiye Kömür İşletmeleri Kurumu. 1981
üretim çizelgeleri.
10. Kargı, F., Robinson, J.M., "Removal of Organic
Sülfür From Bituminous Coal", Fuel, Vol 65, 1986.
11. Doğan,Z., Özbayoglu,G., Hiçyılmaz,C., Sarıkaya,
M., Özçengiz,G., "Bakterilerle Öztleme ve Bakte-
rilerle Şartlandırma Flotasyon Yöntemleriyle Üç
Değişik Kömürden Piritik Kükürdün Arındırılması",
Doğa Bilim Dergisi B , 9,3, 1985.
12. Kuyucak,N., "Bakteriyle Liç Yöntemi ile Kömür Kü-
kürtlerinin Temizlenmesi", Uluslararası Kömür Tek-
nolojisi Semineri, İ.T.Ü. Maden Fakültesi Maden
Müh. Böl., İstanbul, 1983, 112-122.
13. Lalvani,S.B., "Electrochemical Desulfurization of
Coal Slurries", Southern Illinois University, Car-
bondale, Final Report, 1984.
14. Lalvani, S., Pata, M., Coughim, R.W., "Electroche-
mical Oxidation of Lignite in Basic Media", Fuel,
Vol 65, Jenuary 1986, 122-128.
15. Hsu, G.C., Kalvinskas, J.J., Ganguli, P.S., Gava-
las, G.R., "Coal Desulfurization by Low-Temperatu-
re Chlorinolysis, California institute of Technology.
16. Bolat,E., "Extraction of Lignites from Çan, Soma
and Tunçbilek With Donor and Non-Donor, Solvents in
Soxhlet Extractor and Autoclave", Master Tezi, Bo-
ğaziçi Üniversitesi, İstanbul, 1983.
17. Annual Book of ASTM Standards", Part 26, Gaseous
Fuels, Coal and Coke; Atmospheric Analysis, Methot
D-3174-73, ASTM, Philadelphia, 1976.
18. TSE, "Turba ve Linyitlerde Kül tayini", TS 1042,
1974 .
19. TSE, "Eschka Metodu ile Maden Kömüründe Toplam Kü-
kürt Tayini", TS363, 1966 .

20. Annual Book of ASTM Standards", Part 26, Gaseous Fuels, Coal and Coke; Atmospheric Analysis Method D-3177-75, ASTM, Philadelphia, 1976.
21. Annual Book of ASTM Standards", Part 26, Gaseous Fuels, Coal and Coke; Atmospheric Analysis, Method D-2492-68, ASTM, Philadelphia, 1974.

EK 1

ANALIZ YONTEMLERI

I. ANALİZ YÖNTEMLERİ

III. ROMUDEDE İBR TAYİNİ

Eker, kumur, gümüş gibi elementlerin bulunduğu mühür bir saly de 105°C 'de kurutulduğunda EK I kayna sonucu zamanla değişir. Uzun süre çok havada beklenen kurutulması konur, havadaki oksijen ile reaksiyonlar devam ederken hidroksitlerin oksidasyonu olurken, karbonatlar ise hidroksitlerin oksidasyonu sırasında paralel hale gelir; sonucunda hidroksitlerin oksitlerine döner. Bu nedenle kurutma eğrileri özlüce ve romudeki tuzlara için genetikli olan kurutma eğrisinde ilk pikin görüldüğü an sırasak septanır. Kurutma eğrisinde ilk pikden sonra görülen pikler, tümürün oksidasyonundan (tümü gelen oksitlerin kazaplarının kaynaklık gelir). (16).

CİHAZLAR

- Etovar: $105-110^{\circ}\text{C}$ 'ye ısıtmalı fırın,
- Terazit: 0,1 mg duyarlılığı,
- Pottendorff: Sabit sıcaklığındaki elektrikli fırın,

İŞLEM: Havada beklenen tuzlara 10-15 dakika boyunca 105°C ’da beklenir. 0,145 mm’lik çubuklar gerekliliktede ölçülmeli, 1 gr’lık kümde örneklerin perçinlenmesi gereklere ayrı ayrı konulur. Her 10 dakika aralıklarla kromeler ölçülüp, soğutulup ve

tartılır. Neyden gelen ağırlık kaybının yüzde değerleri hesaplanır. Zamanla karşılık gelen yüze ağırlık kaybı grafikleri çizilir. Eğrilerde görülen ilk pik noktası kurums zamanını verir. Bu zamanla karşılık gelen yüze nem kaybı, kömür örneğinin mikroskopik nemini verir.

I. ANALİZ YÖNTEMLERİ

I.1. KÖMÜRDE NEM TAYİNİ

İLKE: Kömür örneğinin ağırlığı kömür bir etüv de 105°C 'de kurutulduğunda, nem kaybı sonucu zamanla değişir. Uzun süre açık havada bırakılan kurutulmuş kömür, havadaki oksijen ile reaksiyon verir ve oksidasyon ürünleri serbest hale geçer, sonuçta saptadığımız ağırlık farkı artar. Bu nedenle kurutma eğrileri çizilir ve kömürün kuruması için gerekli zaman kurutma eğrisinde ilk pikin görüldüğü an olarak saptanır. Kurutma eğrisinde ilk pikden sonra görülen pikler, kömürün oksidasyonundan ileri gelen ağırlık kayıplarına karşılık gelir (16).

CİHAZ:

- Etüv: $105-110^{\circ}\text{C}$ 'ye ayarlanabilen,
- Terazi: 0.1 mg duyarlılıkta,
- Porselen kroze: Sabit tartıma getirilmiş.

İŞLEM: Havada kurutulup sabit tartıma getirilmiş kömür örneği, 0.144 mm'lik elekten geçecek şekilde öğütülür. 1 g'lük kömür örnekleri porselen krozelere ayrı ayrı konulur. Her 10 dakika aralıklarla krozeler çıkarılıp, soğutulur ve

tartılır. Meydana gelen ağırlık kaybının yüzde değerleri hesaplanır. Zamana karşılık gelen yüzde ağırlık kaybı grafikleri çizilir. Eğride görülen ilk pik noktası kuruma zamanını verir. Bu zamana karşılık gelen yüzde nem kaybı, kömür örneğinin higroskopik nemini verir.

HESAP:

$$(\% \text{ Nem}) = \frac{m_2 - m_3}{m_2 - m_1} \times 100$$

m_1 = Sabit tartıma getirilmiş kroze tartımı (g)

m_2 = Kurutulmuş kömür + kroze tartımı (g)

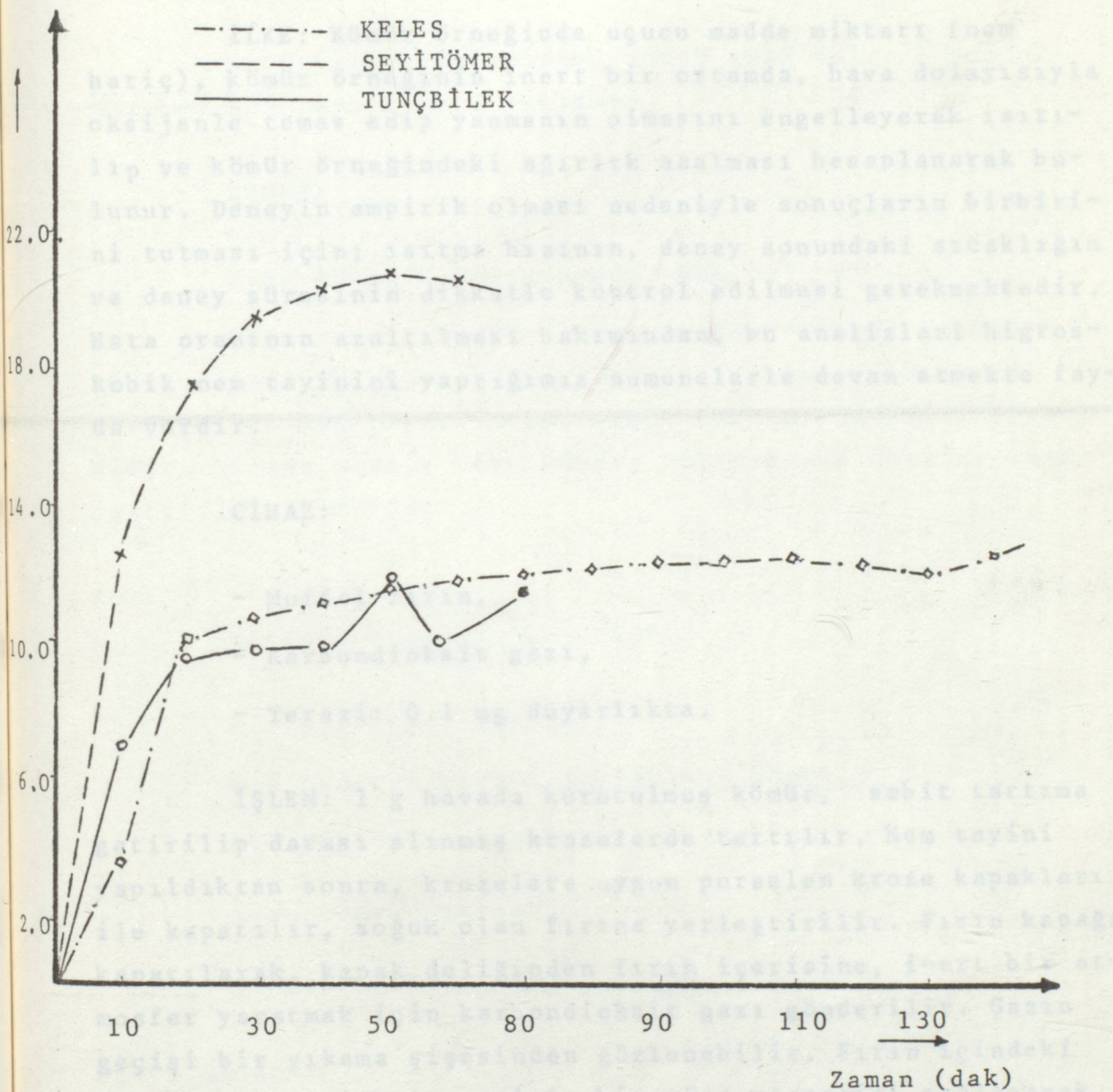
m_3 = Kroze + nemli kömür tartımı (g)

TABLO: 5: Orjinal Keles (Bursa), Tunçbilek (Tavşanlı),
Seyitömer (Kütahya) Linyitlerinin analiz
sonuçları.

ANORGANİK BİLEŞİKLER	ORJİNAL LINYİT ÖRNEKLERİNN ANALİZ SONUÇLARI (%)			
	KELES	TUNÇBİLEK	SEYİTÖMER	
KÜKÜRT TÜRKÜRT TÜRLERİ	SÜLFAT PİRİT TOPLAM	0.2495 1.3326 2.1796	0.3860 0.2183 1.073	0.1900 0.5910 1.9888
DİĞER BİLESENLER	KÜL	48.1018	15.0450	16.1819
	UÇUCU MADDE NEM SABİT KARBON	38.1613 12.6300 13.7869	36.5865 11.00 48.3685	42.7153 20.7200 41.7420

Şekil 5-5, 5-6 ve 5-7 Keles, Tunçbilek ve
Seyitömer linyitlerinin (L) makroskopik ve mikroskopik
profilleri.

1.2. KÖMÜRLÜ DÜZGÜ MADDE - KOK - SABİT KARBUR TAYİNLERİ



Şekil 5:-0,144 mm tane boyutunda Keles, Tunçbilek ve Seyitomer kömürlerinin ($110 \pm 5^{\circ}\text{C}$) da çıkarılan higroskopik nem grafikleri.

I.2. KÖMÜRDE UÇUCU MADDE - KOK - SABİT KARBON TAYİNLERİ

İLKE: Kömür örneğinde uçucu madde miktarı (nem hariç), kömür örneğinin inert bir ortamda, hava dolayısıyla oksijenle temas edip yanmanın olmasını engelleyerek ısıtılp ve kömür örneğindeki ağırlık azalması hesaplanarak bulunur. Deneyin ampirik olması nedeniyle sonuçların birbirini tutması için; ısıtma hızının, deney sonundaki sıcaklığın ve deney süresinin dikkatle kontrol edilmesi gerekmektedir. Hata oranının azaltılması bakımından, bu analizleri higroskopik nem tayinini yaptığımız numunelerle devam etmekte faydalıdır.

CİHAZ:

- Kök:
- Muffel fırın,
 - Karbondioksit gazı,
 - Terazi: 0.1 mg duyarlılıkta.

İŞLEM: 1 g havada kurutulmuş kömür, sabit tartıma getirilip darası alınmış krozelerde tartılır. Nem tayini yapıldıktan sonra, krozelere uygun porselen kroze kapakları ile kapatılır, soğuk olan fırına yerleştirilir. Fırın kapağı kapatılarak, kapak deliğinden fırın içeresine, inert bir atmosfer yaratmak için karbondioksit gazı gönderilir. Gazın geçişi bir yıkama şısesinden gözlenebilir. Fırın içindeki havanın dışarı atılması için bir süre gazgeçisi sağlanarak fırın çalıştırılır. 550°C 'a kadar ısıtilir. Bu sıcaklığı gelindiğinde 30 dak. bekletilir ve fırının ısıtıcı devresi kapatılır. Fırın sıcaklığı $150-200^{\circ}\text{C}$ 'a düşünceye kadar karbondioksit gazı geçirmeye devam edilir ve sonra kesilir. Krozeler çıkarılıp desikatörde soğutulur, tartılarak dara

ile farkı akınır. Elde edilen kok miktarıdır buradan yüzdeye geçilebilir.

Koklaştırma işleminden sonra geri kalan kömür nümuneleri kül tayini için saklanır.

HESAP:

Kuru kömür = Uçucu madde + kok

Nemsiz kuru kömür = Uçucu madde + Sabit karbon + kül olduğundan, Uçucu madde yüzdesi ile kül yüzdesinin toplamı 100'den çıkarılarak, sabit karbon yüzdesi bulunabilir. Burada nemsiz kuru kömür, higroskopik nemi de uzaklaştırılmış kömürdür.

Kok:

$$(\% \text{ Kok}) = \frac{(m_3 - m_1)}{(m_2 - m_1)} \times 100$$

m_1 = Boş kroze tartımı,

m_2 = Kroze + havada kurutulmuş kömür,

m_3 = Koklaştırmadan sonraki tartım.

Kuru temel üzerinden:

$$(\% \text{ Kok})_{kt} = (\% \text{ Kok}) \frac{100}{100 - \% \text{ Nem}}$$

Uçucu madde:

Kuru kömür = kok + Uçucu madde

$$100 = (\% \text{ Kok})_{kt} + (\% \text{ U.M})_{kt}$$

$$(\% \text{ U.M}) = 100 - (\% \text{ Kok})_{kt}$$

Kül:

Kuru temel üzerinden:

$$(\%) \text{ kül} = \frac{\frac{m_5 - m_1}{m_2 - m_1}}{100} \cdot \frac{100}{100 - \% \text{ Nem}}$$

$m_5 - m_1$ = kül miktarı.

Tüm türlerde külün toplamı 100% olmalıdır. Külün toplamının 100%'a eşittir.

Sabit Karbon: Bonastlardan CO₂ kaybının sırrının oksitlenmesiyle dem Kuru kömür = Uçucu madde + Sabit karbon + kül olmak.

$$100 = (\%)_{kt} + (\%)_{S.C.} + (\%)_{kül}$$

$$(\%)_{S.C.} = 100 - (\%)_{kt} - (\%)_{kül}$$

Linyitlerde külün量, amorf karbon量 ve reaksiyonlar
meydana gelici yakma kapasitelerin bağlıdır. Üçüncü sonucu
larda edebilme için işlem sırname uygulanmalıdır.

PRINSİP: Linyit sırname; 250°C'a kadar 30 dakika,
250°C dan 300°C'a kadar 20 dakika, 300°C dan 800°C'a
kadar da 50 dakika ısıtılır. Son sıcaklıkta degişmez ağırlığı
seçilenin kadar belirlenir. Kalınlığı, yakma işleminden
sonra kalıntıdan sağlanır.

CİHAZ:

~ Analitik terazi, 0.1 mg duyarlılığı,

~ Muffel fırın,

~ Paralel kroza,

İSTAMI: Analizde hazırlamadan önce havada kurutulmuş
meme karişmalarak 0,16 mm olan ebatlara ayrılmıştır. Tüm türlerde
sabit karbonun ölçümü birlikte kapaklı birlikte yapılır.
Tüm türlerde külün toplamının 100%'a eşittir.
İçerisine konan nesnenin miktarını saptamak için kroza kapaklı

I.3. KÖMÜRDE KÜL TAYİNİ

Kül tayinleri T.S.E. ve ASTM (17-18)'e göre yapılmıştır.

İLKE: Yanma sırasında; kömürün tabakalı yapısından su kaybı, karbonatlardan CO_2 kaybı ve piritin oksitlenmesiyle demir oksitlerin meydana gelişisi gibi birçok değişimler olmaktadır. Bu nedenle turb veya linyit tamamen yandığı zaman kalan kül miktarı ve içeriği farklıdır. Küükürt oksitleri de alkaliler tarafından tutulur. Bunlardan dolayı turb ve linyitlerde kül tayin metodu ampiriktir. Çünkü reaksiyonların meydana gelişisi yakma koşullarına bağlıdır. Uyarlı sonuçlar elde edebilmek için işlem aynen uygulanmalıdır.

PRENSİP: Linyit sırayla; 250°C 'a kadar 30 dakika, 250°C dan 500°C 'a kadar 30 dakika, 500°C dan 815°C 'a kadar da 60 dakika ısıtilır. Son sıcaklıkta değişmez ağırlığa gelinceye kadar bekletilir. Kül yüzdesi, yakma işleminden sonra kalıntıının ağırlığından hesaplanır.

CİHAZ:

- Analitik terazi, 0.1 mg duyarlılıkta,
- Muffel fırın,
- Porselen kroze.

İŞLEM: Analize başlamadan önce havada kurutulan numune karıştırılarak 0.144 mm olan elekten elenir. Temiz ve sabit tartıma getirilmiş bir kap kapağı ile birlikte tartılır. 1 g'lık kömür numunesi düzgün bir şekilde içine yayılır. İçerisine konan numune miktarını saptamak için kroze; kapağı

kapalı olarak tartılır, kroze ve kapağı birbirinden ayrı olarak oda sıcaklığındaki fırına konulur. Yukarıda anlatılan sıcaklık koşulları sağlanarak yakma işlemi yapılır. Kroze kapağı ile kapatılarak fırından çıkarılır. Önce 5 dakika soğuk ve kalın bir metal levha üzerinde, daha sonra bir desikatöre koyarak soğutulur. Desikatörde yaklaşık 15 dakika bekletilen krozeler kapağı ile birlikte tartılır. Kızdırma işlemi, numune sabit sıcaklığa gelinceye kadar tekrarlanır.

biri il HESAP:

$$A = \frac{(m_3 - m_1)}{(m_2 - m_1)} \times 100$$

A = Kül yüzdesi

m_1 = Boş kabın kapağı ile birlikte ağırlığı (g),

m_2 = Kabın numune ve kapağı ile birlikteki ağırlığı (g),

m_3 = Kabın kül ve kapağı ile birlikteki ağırlığı (g).

Hesaplamalar, kuru kömür temel üzerinden de yapılabilir.

$$B = A \times \frac{100}{100 - \text{Nem}}$$

B = Kuru temel üzerinden kül yüzdesidir.

2) Bidirektörük asit

3) Aşırı sulfat çözeltisi: 0.001 g potasyum sulfat su'da çözülmüş ve 1000 ml'ye tamamlanır. Bu çözeltisini 10 ml'yi 0.0059 g baryum sulfatla müdahaledir.

I.4. TOPLAM KÜKÜRT TAYİNİ

Kömürde toplam kükürt tayini Türk standartları Enstitüsü TS 363 nolu standardından, ASTM D 3177 nolu standardından faydalananlarak Eschka yöntemi ile yapılmıştır (19-20).

İLKE: Kömür numunesi, yanabilen maddelerin giderilmesi ve sülfür kükürdünün sülfat kükürdüne çevrilmesi için Eschka karışımı ile iyice karıştırılarak, oksitleyici bir atmosferde yakılır. Gravimetrik veya volumetrik yöntemlerden biri ile tayin edilir.

CİHAZ:

- Tartımlarda kullanılan terazinin 0.1 mg duyarlılığı olması gerekmektedir.

- Elektrik muffel fırını, ısıtma bölgesinin her tarafını $800 \pm 25^{\circ}\text{C}$ sıcaklıkta tutabilmelidir.

- Nikel kroze ve porselen kroze.

REAKTİFLER: Kullanılan bütün reaktifler analitik saflıkta olmalıdır.

1) Eschka karışımı: Hafif kavrulmuş magnezyum oksit, ağırlığının yarısı kadar sodyum karbonat veya potasyum karbonatla karıştırılır. Karışımın hepsi 0.20 mm'lik elekten geçirilmelidir.

2) Hidroklorik asit

3) Ayarlı sülfat çözeltisi: 0.600 g potasyum sülfat suda çözülür ve 1000 ml'ye tamamlanır. Bu çözeltinin 10 ml'si 0.0080 g baryum sülfata eşdeğerdir.

4) Baryum klorür çözeltisi: Yüzde 8.50'luk hazırlamak için; iki kristal sulu baryum klorürden 100 g alınarak suda çözülür ve 1 litreye tamamlanır. Çözelti iki defa asitle yıklanmış ince gözenekli bir süzgeç kağıdından süzülür.

5) Metil kırmızısı çözeltisi: 1 g 0-karbaksi-benzen-azodimetil aniliin (metil kırmızısı) 600 ml etanolde çözülür ve su ile litreye seyreltilir.

6) Amonyak çözeltisi,

7) Hidrojen peroksit, yüzde 30 luk (litre/hacim)

İŞLEM:

25 ml'lik bir nikel krozeye 0.5 g Eschka karışımı ($2\text{MgO} + 1\text{K}_2\text{CO}_3$) düzgünce yayılır. Numuneden alınan 1 glık örnek uygun bir kapta 2.5 g'lık Eschka karışımı ile iyice karıştırılır. Karışım krozeye aktarılır. Kroze masaya yavaşça vurulmak suretiyle düzelttilir ve üzerini 1 g Eschka karışımı ile düzgünce örtülür. Kroze soğuk fırına konmalıdır. Fırın 1 saat içersinde $800 \pm 25^\circ\text{C}$ 'a erişecek şekilde ısıtılır. Bu sıcaklıktayken krozeler 1.5 saat bekletilir. Bu süre soğumada çıkarılarak soğutulur.

Yakılmış karışım, krozeden içerisinde 25-30 ml su bulunan 400 ml'lik bir behere aktarılır. Eğer yanmamış parçalar varsa tayin kabul edilmemelidir.

Kroze 50 ml'lik sıcak su ile yıkandıktan sonra suları da beherin içindeki lere ilave edilir.

Beherin içindeki lere 1 ml H_2O_2 katılır. 30 dak. sürede içinde 80°C 'da ısıtılır, süzülür, süzüntü 400 ml'lik

geniş ağızlı bir erlende toplanır. Süzgeç kağıdı 5 defa 20'ser ml'lik sıcak su ile yıkanır. Hidrojen péroksidi gidermek için kaynatılır ve bu işlemin tamamlandığını göstermek için indikatör olarak metil kırmızısı kullanılır. Renk kırmızıya dönünceye kadar hidroklorik asit katılır ve 1 ml fazlası katılır. CO_2 'i uzaklaştırmak için 5 dakika kaynatılır. Bu işlemlerin sonucunda çözeltinin hacmi 150-250 ml arasında olmalıdır. Kapalı erlen, çözelti kaynayınca kadar ısıtılır ve kaynama kesilinceye kadar sıcaklık yavaş yavaş azaltılır. Bundan sonra yaklaşık olarak 20 sn'lik bir katma zamanı içerisinde bir pipetten 10 ml soğuk BaCl_2 çözeltisi katılır. Çözelti kaynama noktasına çok yakın bir sıcaklıkta 30 dakika bekletilir.

Uzun boyunlu 60'luk bir huniye yerleştirilen külşüz, ince gözenekli, asitle iki defa yıkılmış bir süzgeç kağıdından süzülür. Süzgeç kağıdı 250 ml kadar sıcak su ile yıkanır. Son yıkama suyu, 20 ml gümüş nitrat çözeltisi ile ancak hafif bir bulanıklık vermelidir.

Islak süzgeç kağıdı önceden sabit tartıma getirilmiş porselen krozeye konulur, kroze $800 \pm 25^\circ\text{C}$ sıcaklığındaki bir fırında 15 dak. süre ile kızdırılır.

Şahit deney: Aynı koşullar altında fakat kömürsüz bir şahit deneme yapılır. Metil kırmızısı çözeltisini katmadan önce süzüntüye 10 ml ayarlı sülfat çözeltisi katılmalıdır. Esas tayinde bulunan kükürtten şahit deneyde elde edilen BaSO_4 miktarı ve ilave edilen ayarlı sülfat çözeltisinin eşdeğeri BaSO_4 çıkarılmalıdır.

1.5. KÖMÜRDEN KÜKÜRT TÜRLERİ TAYINI

HESAP:

$$S = \frac{13.734 (a-b+0.0080)}{m}$$

m: Kömür miktarı (g) tayini ASTM D 297 standartına uygun olmalıdır.

a: Esas tayinde bulunan $BaSO_4$ ağırlığı (g) tayindan sonra pirilik ve

b: Şahit deneyde bulunan $BaSO_4$ ağırlığı (g) tayindan sonra pirilik ve

S: Kükürt yüzdesi tayindan sonra pirilik ve sulfat kükürt, pirilik kükürt ve organik kükürt olarak ayrı ayrı tayin edilir.

Sulfat kükürdü: Kömürde sayretilik hidrokarik asit ile ekstrakte edip, ekstraktek kükürt ve organik kükürt volumetrik metodla tayin edilerek tayit edilir.

Pirit kükürdü: Sayretilik hidrokarik asidin çözülmek, fakat tayit edilen denysel koşullar altında sayretilik pirilik asit ile kükürt olarak çözünlür. Önce pirit haliinde birleşmiş olan demir tepsin edilip, sonra bu demire eftedeler kükürt hesaplanır. Sayretilik pirilik kükürdü tayin edilir.

Organik kükürt: Sulfat ve pirilik kükürdü yüzdesinin toplamını kükürdeki toplam kükürt miktarından çıkararak hesaplanır.

1.5.1. SULFATEK KÜKÜRT TAYINI

Reaktifler:

1) Hidrokarik asit.

2) Baryum klörüs çözeltisi: 100 g İki litrelik sulubaryum klörür sunda çözünlür ve 1 litreye konulur.

I.5. KÖMÜRDE KÜKÜRT TÜRLERİ TAYİNİ

Kömürde kükürt türleri tayini ASTM D 2492 standartına göre yapılmıştır (21).

İLKE: Kömürdeki kükürdün tayini için uygulanacak ilke, kömürdeki kükürt bileşiginin şekline bağlıdır. Kükürt genel olarak kömürün içinde; inorganik sülfat, piritik ve organik kükürt bileşikleri gibi üç şekilde bulunur. Bu şekilde birleşmiş olan kükürt sırasıyla; sülfat kükürdü, piritik kükürt ve organik kükürt olarak ayrı ayrı tayin edilir.

Sülfat kükürdü: Kömürü seyreltik hidroklorik asitle ekstrakte edip, ekstraktaki kükürt ya gravimetrik veya volumetrik metodla tayin edilerek tespit edilir.

Pirit Kükürdü: Seyreltik hidroklorik asidde çözünenmez, fakat tarif edilen deneysel koşullar altında seyreltik nitrik asitle kantitatif olarak çözünür, önce pirit halinde birleşmiş olan demir tayin edilip, sonra bu demire eşdeğer kükürt hesaplanmak suretiyle pirit kükürdü tayin edilir.

Organik Kükürt: Sülfat ve pirit kükürdü yüzdesinin toplamını kömürdeki toplam kükürt miktarından çıkararak hesaplanır.

I.5.1. SÜLFATİK KÜKÜRT TAYİNİ

Reaktifler:

- 1) Hidroklorik asit.
- 2) Baryum klörür çözeltisi: 100 g iki kristal sulu baryum klörür suda çözünür ve 1 litreye tamamlanır.

Kullanmadan önce asitle iki kez yıkanmış beyaz bant süzgeç kağıdından süzülür.

3) Amonyak çözeltisi.

4) Ayarlı sülfat çözeltisi: 0.600 g potasyum sülfat suda çözülür ve 1000 ml'ye tamamlanır. 10 ml ayarlı sülfat çözeltisi 0.0080 g BaSO_4 'a eşdeğerdır.

5) Hidrojen peroksit çözeltisi.

İŞLEM:

5 g'lık kömür örneği alınır. Bu örnekler bir silifli erlen içinde ve geri soğutucu altında 50 ml'lik HCl çözeltisiyle (2 hacim %37'lik HCl+3 hacim su) 30 dak. kaynatılır. Daha sonra karışım süzülür ve bakiye tamamen yıkanır. Süzüntüye Hidrojen peroksit katıp kaynattıktan sonra içerdığı Fe^{3+} iyonları amonyakla çöktürülerek ayrılır ve piritik kükürt tayini için saklanır.

Sülfat tayini için süzüntüye, metil kırmızısı katılır. Renk kırmızılaşınca kadar HCl katıp, 1 ml fazlası katılır. CO_3^{2-} 'i uzaklaştırmak için çözelti kaynatılır. Çözeltideki SO_4^{2-} iyonları Baryum klörür çözeltisi ile çöktürülr, süzülür, iyice yıkanır. Çökelti kurutularak 800°C sıcaklıkta kızdırılıp tartılır. Ayrıca bir de şahit deneme yapılır.

HESAP:

$$\text{Sülfat kükürdü (\%)} = \frac{(S_s)}{w} = \frac{13.734 (a-b)}{w}$$

w = Numunenin ağırlığı

a = Esas deneyle bulunan baryum sulfatın ağırlığı (g)

c = Şahit deneyle bulunan baryum sulfatın ağırlığı (g)

S_s = Numunedeki sülfat kükürdünün yüzdesi.

Kullanmadan önce asitle iki kez yıkanmış beyaz bant süzgeç kağıdından süzülür.

3) Amonyak çözeltisi.

4) Ayarlı sülfat çözeltisi: 0.600 g potasyum sülfat suda çözülür ve 1000 ml'ye tamamlanır. 10 ml ayarlı sülfat çözeltisi 0.0080 g BaSO_4 'a eşdeğerdır.

5) Hidrojen peroksit çözeltisi.

İŞLEM:

5 g'lık kömür örneği alınır. Bu örnekler bir silifli erlen içinde ve geri soğutucu altında 50 ml'lik HCl çözeltisiyle (2 hacim %37'lik HCl + 3 hacim su) 30 dak. kaynatılır. Daha sonra karışım süzülür ve bakiye tamamen yıkanır. Süzüntüye Hidrojen peroksit katıp kaynattıktan sonra içerdiği Fe^{3+} iyonları amonyakla çöktürülerek ayrılır ve piritik kükürt tayini için saklanır.

Sülfat tayini için süzüntüye, metil kırmızısı katılır. Renk kırmızılaşınca kadar HCl katıp, 1 ml fazlası katılır. CO_3^{2-} i uzaklaştırmak için çözelti kaynatılır. Çözeltideki SO_4^{2-} iyonları Baryum klörür çözeltisi ile çöktürülür, süzülür, iyice yıkanır. Çökelti kurutularak 800°C sıcaklıkta kızdırılıp tartılır. Ayrıca bir de şahit deneme yapılır.

HESAP:

$$\text{Sülfat kükürdü (\%)} = \frac{(S_s)}{w} = \frac{13.734 (a-b)}{w}$$

w = Numunenin ağırlığı

a = Esas deneyle bulunan baryum sulfatın ağırlığı (g)

c = Şahit deneyle bulunan baryum sulfatın ağırlığı (g)

S_s = Numunedeki sülfat kükürdünün yüzdesi.

I.5.2. PİRİTİK KÜKÜRT TAYİNİ

Şilifli bir erlen içinde ve geri soğutucu altında 1 g lik örnek, 50 ml HNO_3 çözeltisi ile (1 hacim %65'lik HNO_3 + 7 hacim su) 30 dakika kaynatılır. Süzülüp yıkanır ve süzüntüye H_2O_2 ilave edilerek kaynatılır. İçerdiği Fe^{3+} iyonları amonyakla çöktürülür. Gerek bu şekilde çöktürülen ve gerekse sülfat kükürdü tayini sırasında çöktürülen Fe^{3+} iyonu miktarı tayin edilir. Bu değerlerden örnekteki piritik kükürdün yüzdesi;

$$\text{Piritik kükürt (\%)} = \frac{6400}{56} \left(a - \frac{a_0}{5} \right)$$

$a = 1$ g örnekteki toplam demirin gram miktarı.

$a_0 = 5$ g örnekteki toplam demirin gram miktarı.

H. HESAPLAMALARIN SABIT KARBON ÜZERİNDEN YOROTOLMESI

Dınakır 150 N Fazla % 10 ile hesaplananın ekin
1,0 N demir-çinkoların % 10 ile hesaplananın ekin kümde
lerin 5% negatifin yarısı hesaplanır.

HESAPLARIN SABIT KARBON ÜZERİNDEN YAPILISI

Orjinal hümür örneğinin analiz sonuçları (%):

Sulfat kükürtü : 0.2496

Firrit kükürtü : 1.3326

Toplam kükürt : 2.3792

KB : 48.1615

Nam : 1.0000000000000001 - Verilen değerlerin hepsi kuru-nasıl
miktarlarında (g/m²) olmalıdır.

Üçüncü mazde : 38.1613

Sabit Karbon : 13.7669

Böltlenmiş kündir nemunesiyle analiz sonuçları (%):

Sulfat kükürtü : 0.0875

Firrit kükürtü : 1.2643

Toplam kükürt : 2.3518

KB : 48.4239

Nam : 1.0000000000000001 - Verilen değerlerin hepsi kuru-nasıl

Uçucu Madde : 33.1160

Sabit Karbon : 33.1481

Özütlenmiş kömür örneğinin analiz sonuçlarının orijinal kömürdeki sabit karbon miktarına göre解释lanması

II. HESAPLAMALARIN SABIT KARBON ÜZERİNDEN YÖRÜTÜLMESİ

33.1481 g sabit karbon 0.0875 g'lik bir kükürt konsantratı ile hazırlanmış 1.0 M HCl çözeltisi ile hazırlanan 1.0 M demir-3-klorür çözeltileriyle özütlenmiş Keles kömürleri örneğinin çeşitli bileşenlerinin hesabısı:

Temel: 30.0 g orijinal Keles kömür örneğindeki sabit karbon miktarı seçilmiştir.

Orjinal kömür örneğinin analiz sonuçları (%):

Sülfat kükürdü : 0.2496

Pirit kükürdü : 1.3326

Toplam kükürt : 2.1795

Kül : 48.1019

Nem : - (Verilen değerlerin hepsi kuru temel üzerindedir).

Uçucu Madde : 38.1613

Sabit Karbon : 13.7869

Özütlenmiş kömür numunesinin analiz sonuçları (%):

Sülfat kükürdü : 0.0875

Pirit kükürdü : 1.2645

Toplam kükürt : 2.7885

Kül : 48.4239

Nem : -

Uçucu Madde : 33.1160

Sabit Karbon : 33.1481

Özütlenmiş kömür örneğinin, analiz sonuçlarının orjinal kömürdeki sabit karbon miktarına göre hesaplanması:

a) Sülfat kükürdü miktarı hesabı:

33.1481 g sabit karbona 0.0875 g sülfat kükürdü karşılık gelirse,

13.7869 g sabit karbona X

$$X = \frac{13.7869 \times 0.0875}{33.1481} = 0.0364 \text{ g bulunur.}$$

b) Pirit kükürdü miktarı hesabı:

33.1481 g sabit karbona 1.2645 g pirit kükürdü karşılık gelirse,

13.7869 g sabit karbona X

$$X = \frac{1.2645 \times 13.7869}{33.1481} = 0.5259 \text{ g bulunur.}$$

c) Toplam kükürt miktarı hesabı:

33.1481 g sabit karbona 2.7855 g toplam kükürt karşılık gelirse,

13.7869 g sabit karbona X

$$X = \frac{2.7855 \times 13.7869}{33.1481} = 1.1585 \text{ g bulunur.}$$

d) Kül miktarı hesaplanması:

33.1481 g sabit karbona 48.5239 g kül karşılık gelirse,

13.7869 g sabit karbona X

$$X = \frac{48.5239 \times 13.7869}{33.1481} = 20.1819 \text{ g bulunur.}$$

e) Uçucu madde miktar hesabı:

33.1481 g sabit karbona 33.1160 g uçucu madde karşılık gelirse,

13.7869 g sabit karbona X

$$X = \frac{33.1160 \times 13.7869}{33.1481} = 13.7735 \text{ g bulunur.}$$

1957'de Bitlis'te doğdu. İlk ve orta öğrenimini Gazi Antep'de tamamladı. 1962 yılında İ.B.M.E. Akademisi Kimya Mühendisliği bölümünde mezun oldu. 1964 yılında Yüksek Lisans programına katıldı. Aynı yıl Yıldız Teknik Üniversitesi Fen Bilimleri Enstitüsü Kimya Mühendisliğinde postdoctoral çalışmalarına başladı. 1969 yılında bu üniversitenin Kimya Mühendisliği Proses Kontrol ve Mekanik Tasarımı anabilim dalında Araştırma görevlisi olarak çalışmaya başladı. Halen bu görevde devam etmektedir.



ÖZGECMİŞ

1957'de Bitlis'te doğdu, İlk ve orta öğrenimini Gazi-antep'de tamamladı. 1980 yılında İ.D.M.M. Akademisi Kimya Mühendisliği bölümünde lisansa başlayarak 1984 yılında tamamlandı. Aynı yıl Yıldız Üniversitesi Fen Bilimleri Enstitüsü Kimya Mühendisliğinde yüksek lisans'a başladı. 1985 yılında bu üniversitenin Kimya Mühendisliği Proses kontrol ve Reaktör Tasarımı anabilim dalında Araştırma görevlisi olarak çalışmaya başladı. Halen bu görevde devam etmektedir.



* 0 0 1 0 3 1 1 *